

Textures

Modélisation de l'apparence

Ne pas tout modéliser à l'échelle de la **géométrie** !

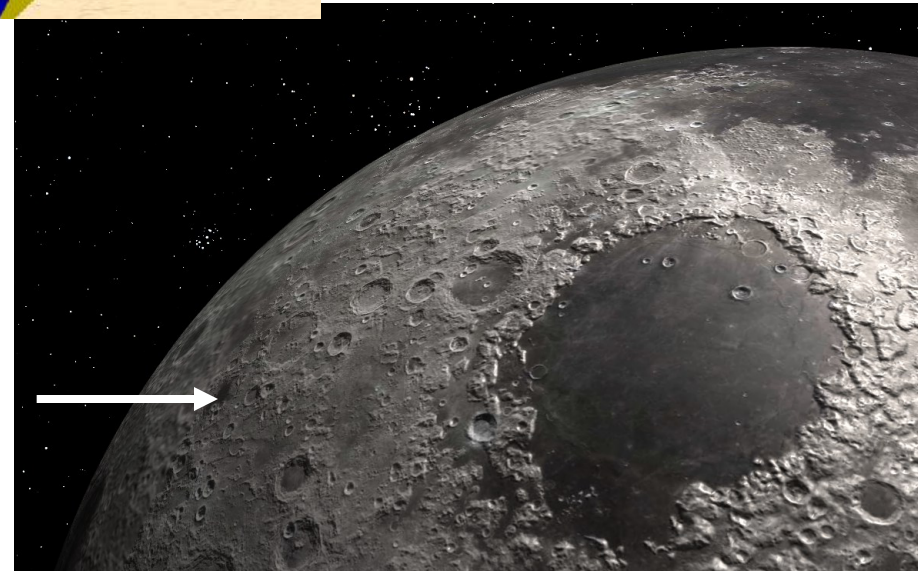
On veut garder une seule face, mais plusieurs couleurs



⇒ **Texture de couleurs**

Des micro-polygones seraient nécessaires

⇒ **Texture de normales**



Les textures

Champ scalaire discret (*lookup table*)

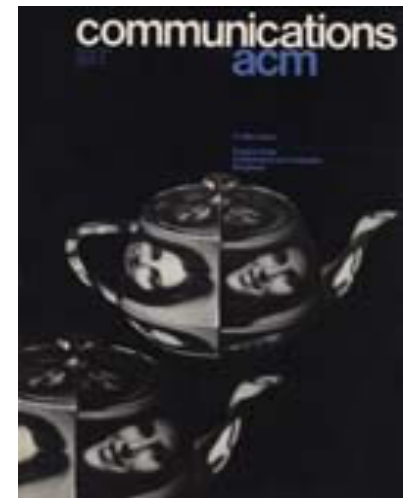
- Défini sur un domaine

- linéaire (1D) 
- rectangulaire (2D)
- cubique (3D)



- Appliqué sur la surface par des **coordonnées de texture**

- spécifiées en chaque sommet
- interpolées par fragment



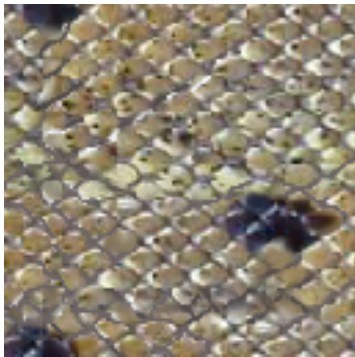
Texture and reflection in computer generated images.
J. F. Blinn & M.E. Newell. 1976

Les textures

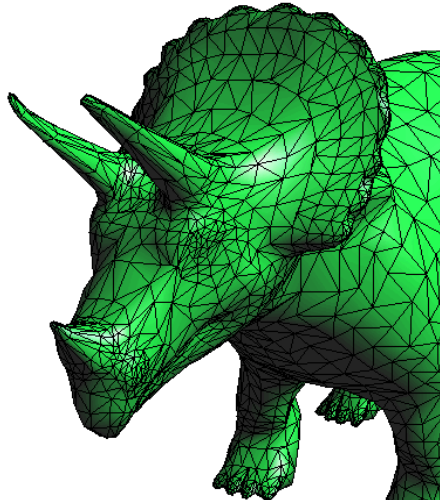
Ajout d'information visuelle à **petit prix**

Support matériel

- interpolation des coordonnées de texture
- interpolation des valeurs de couleur
- filtrage multi-résolution (*mip-mapping*)



x



=



Les textures

Peuvent être utilisées pour spécifier :



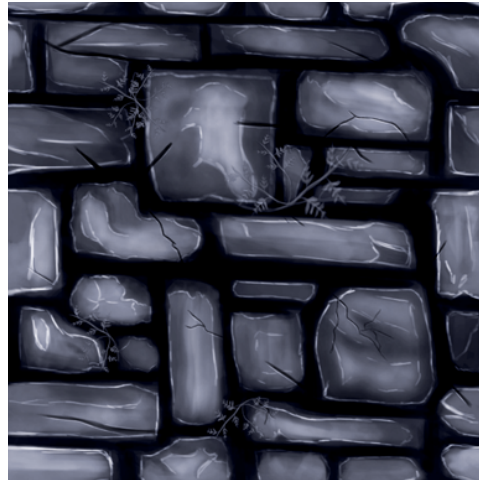
Les textures

Peuvent être utilisées pour spécifier :

- **La couleur** : ambiante / diffuse, la brillance, la transparence



Diffuse Map



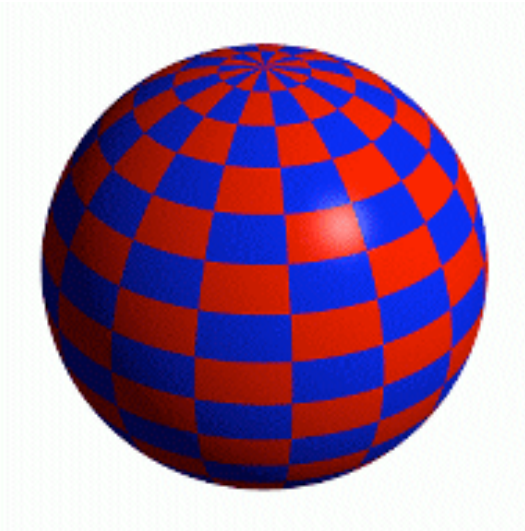
Specular Map



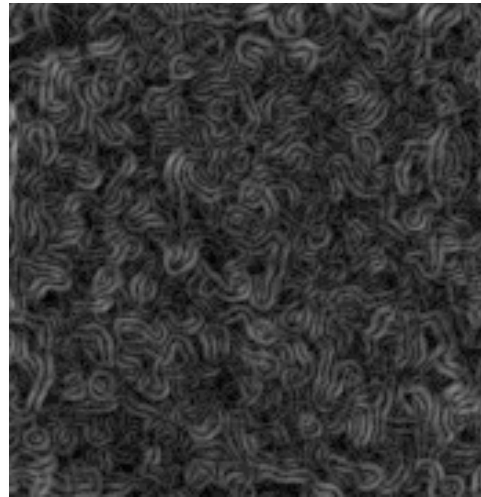
Les textures

Peuvent être utilisées pour spécifier :

- La couleur
- Les **normales** (*bump / normal mapping*)



Texture Diffuse mappée
sur la sphère



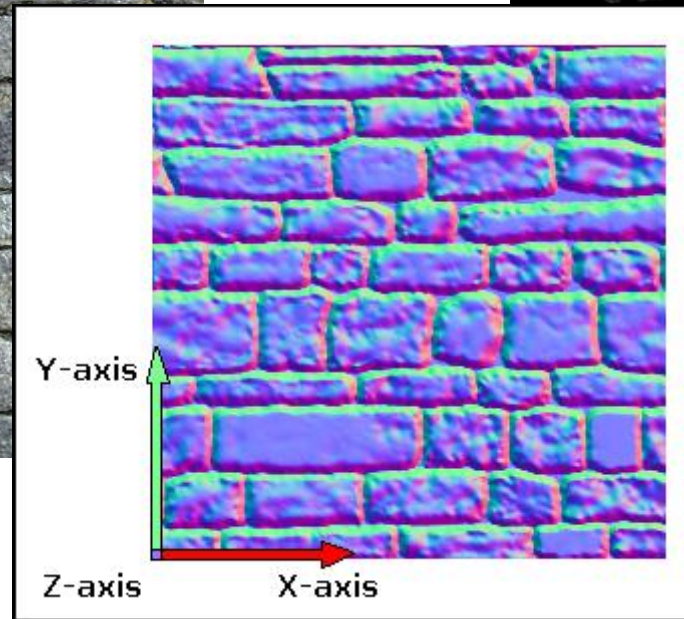
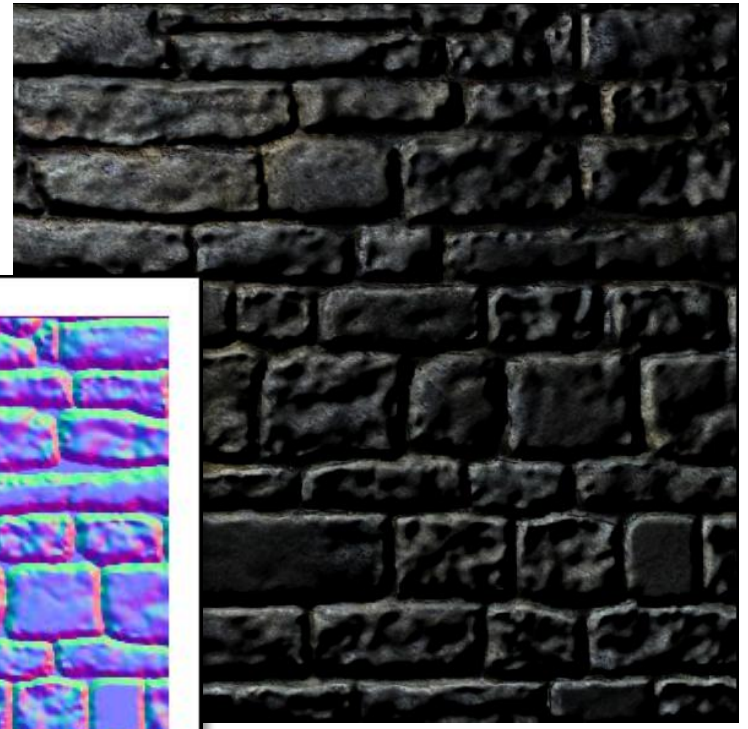
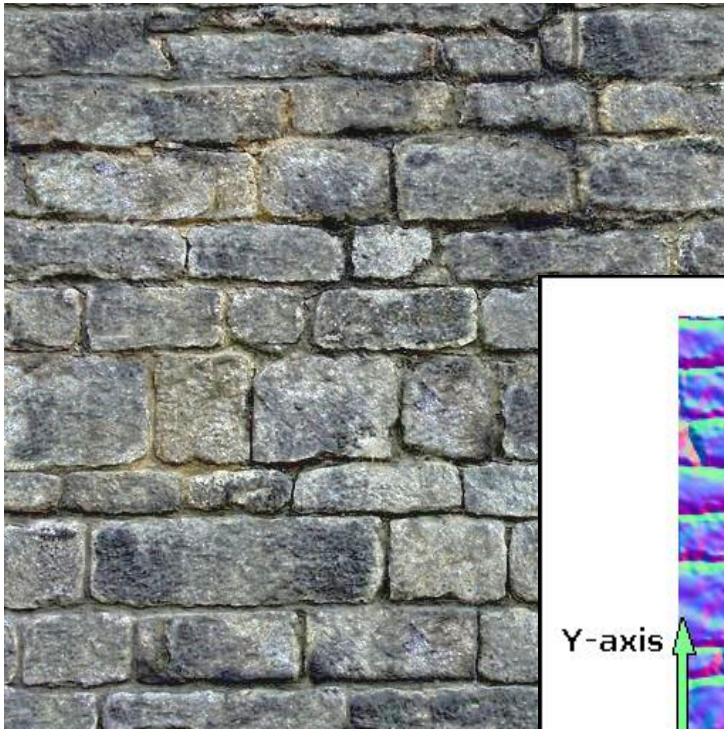
Bump Map



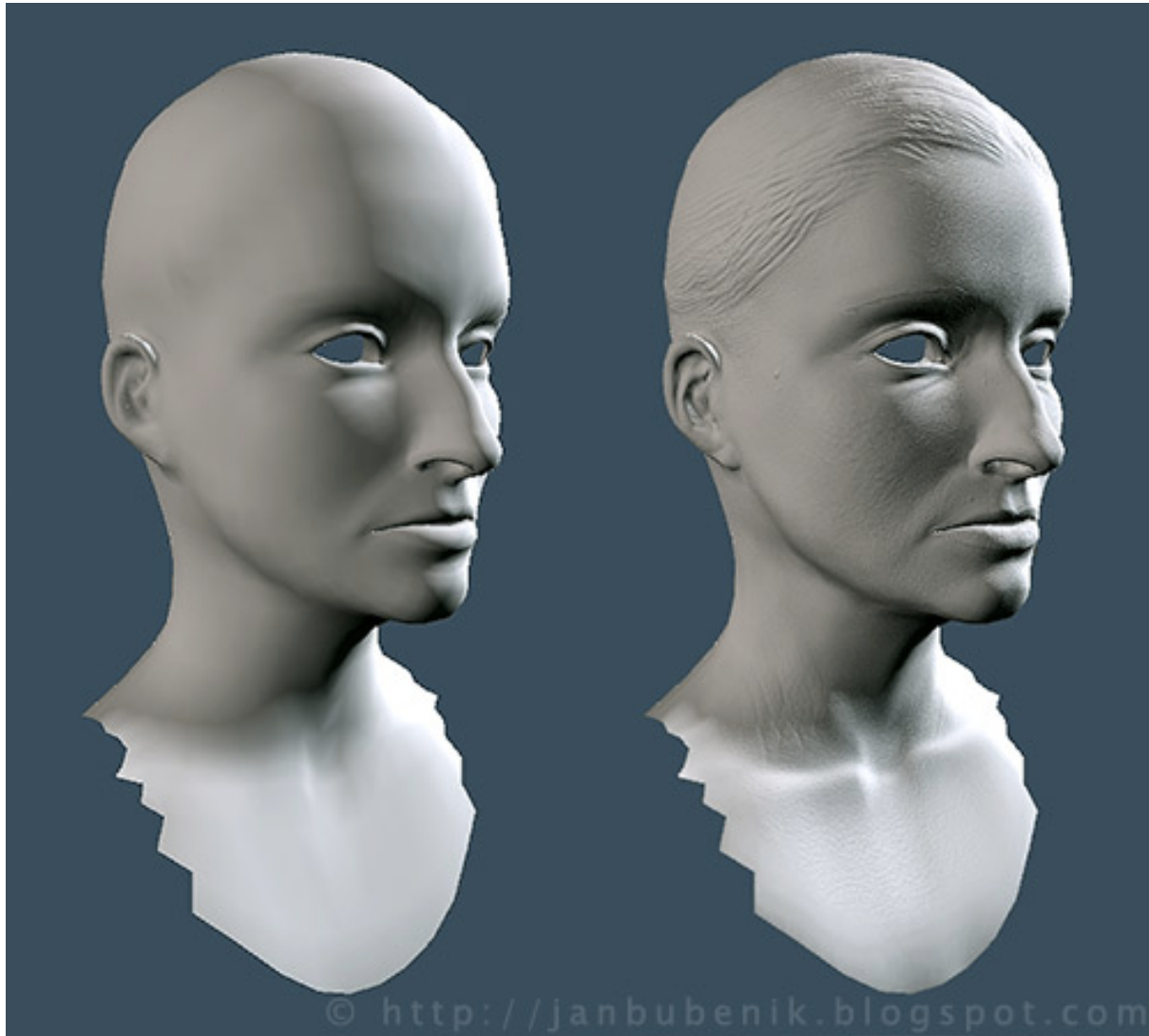
Textures combinées

Perturbation des normales

Donnée par une texture de normale (*normal map*)



Perturbation des normales



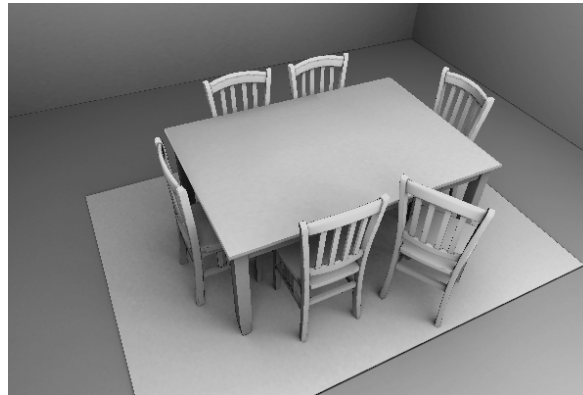
Les textures

Peuvent être utilisées pour spécifier :

- La couleur
- Les normales (*bump / normal mapping*)
- **Une illumination pré-calculée (*light mapping*)**



Texture diffuse appliquée
à la scène



Light map appliquée
à la scène

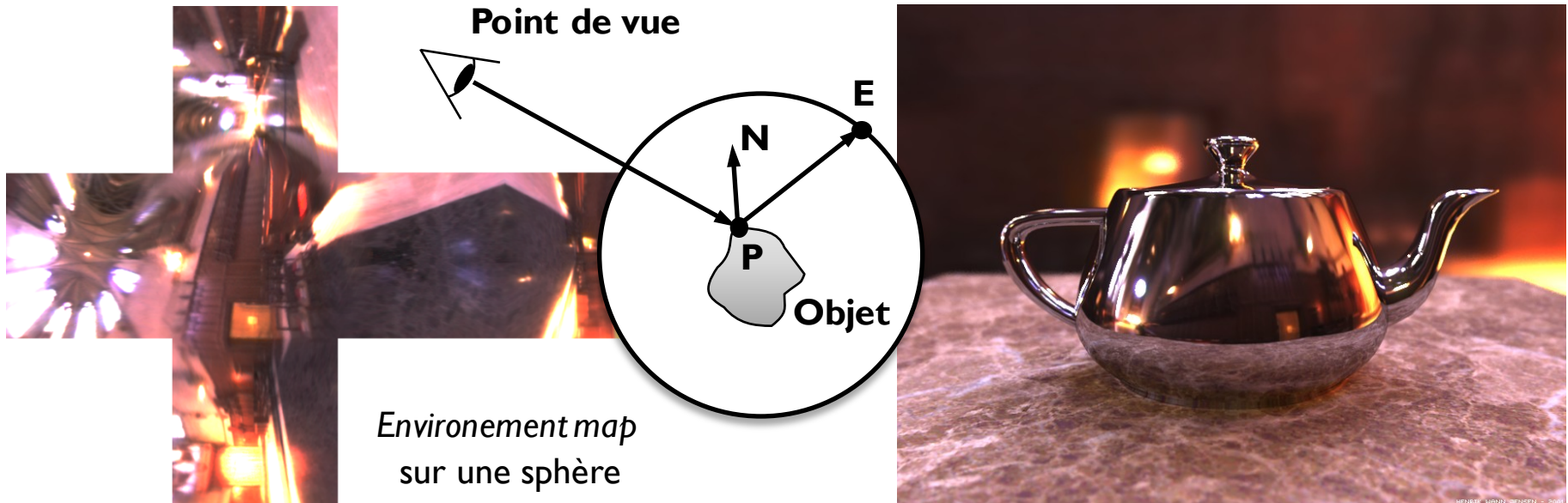


Textures combinées

Les textures

Peuvent être utilisées pour spécifier :

- La couleur
- Les normales (*bump / normal mapping*)
- Une illumination pré-calculée (*light mapping*)
- Les **réflexions** (*environment mapping*)



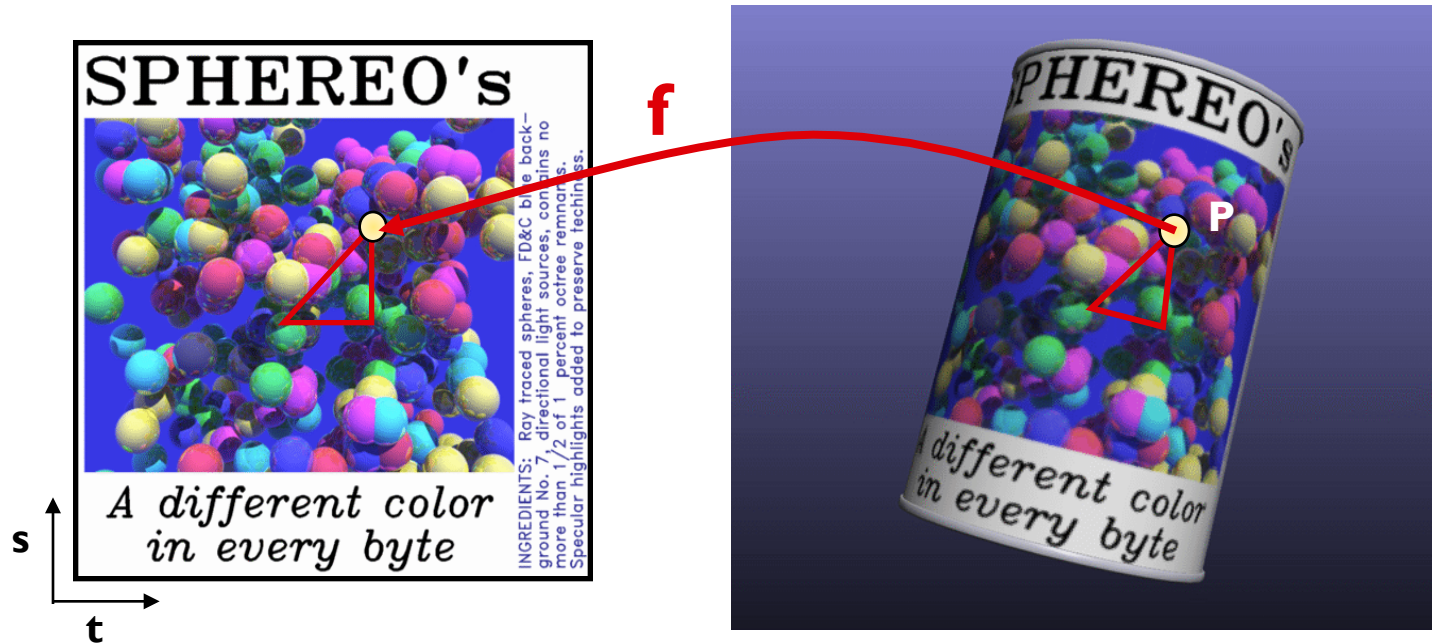
Les textures 2D



Image $I(s,t)$

Fonction de placage (*mapping*)

$$f : P(x,y,z) \rightarrow (s,t) \text{ dans } [0,1]$$



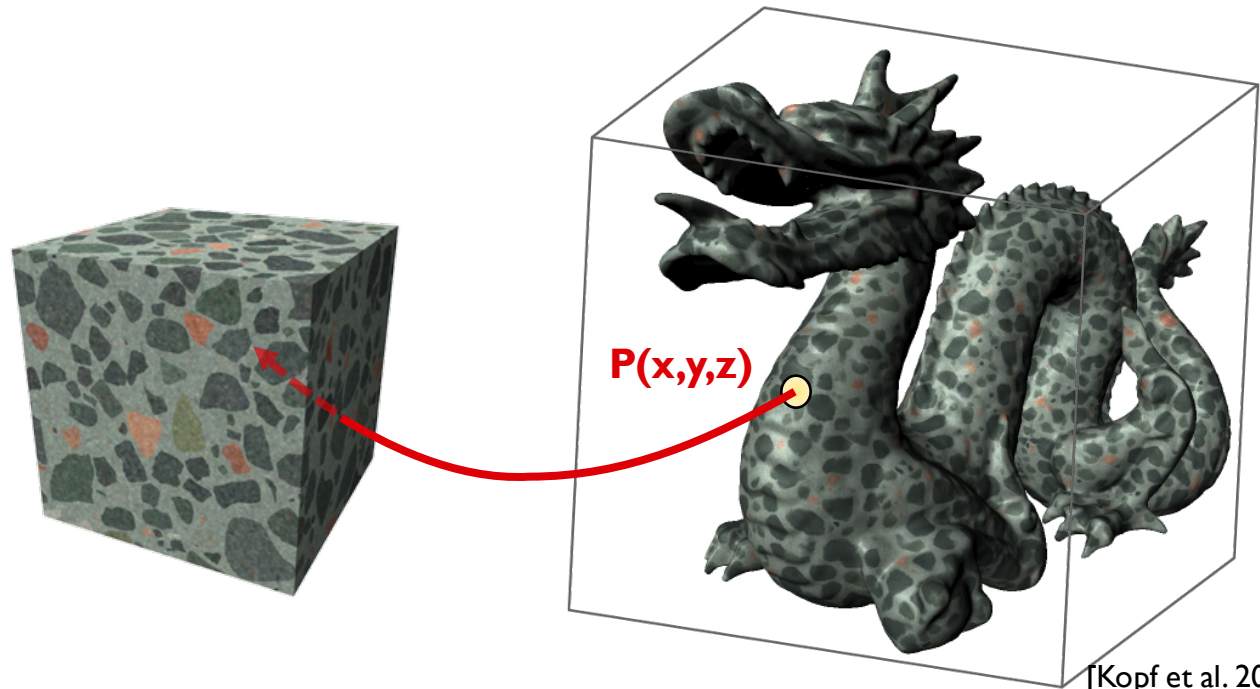
Les textures 3D

Volume $V(s,t,r)$

Fonction de placage (*mapping*) **triviale**

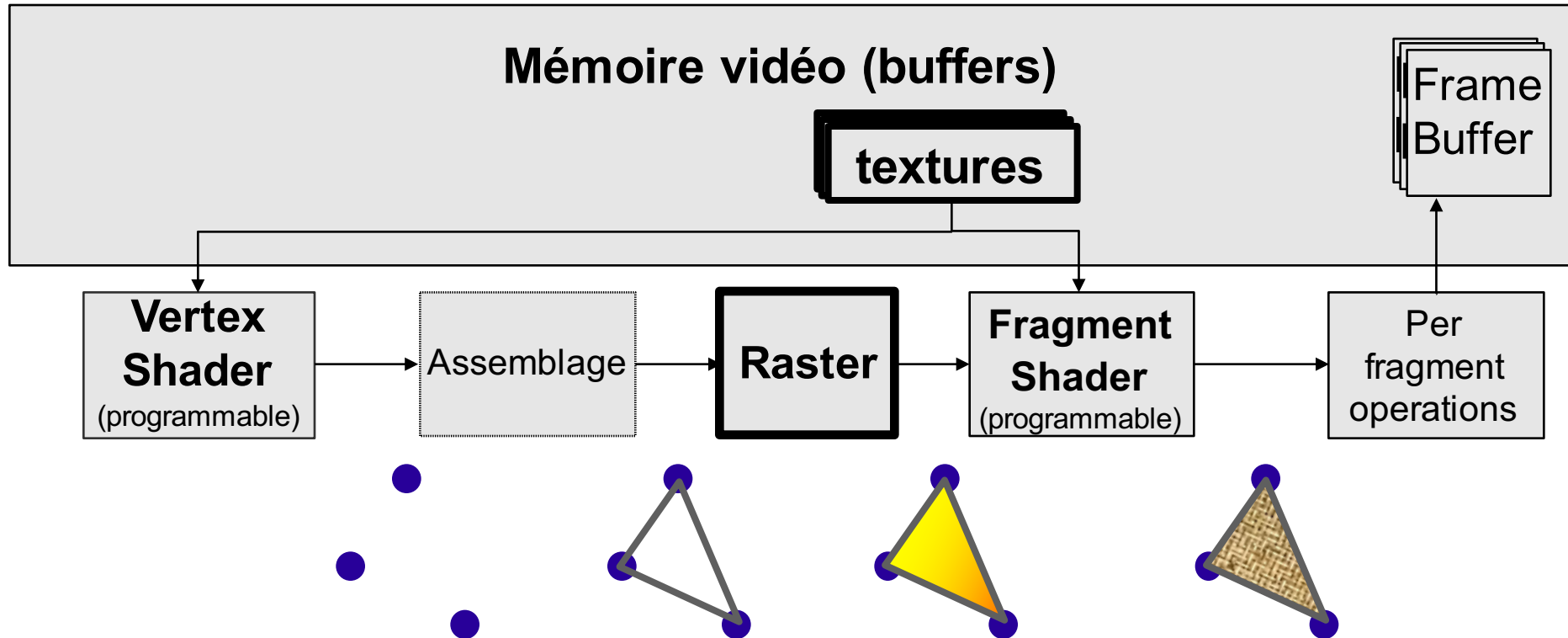
$$x = s, y = t, z = r$$

Attention : coût mémoire important



[Kopf et al. 2006]

OpenGL



Différents types de base :

`GL_TEXTURE_1D`
`GL_TEXTURE_2D`
`GL_TEXTURE_3D`
`GL_TEXTURE_2D_ARRAY`
`GL_CUBE_MAP`

Création, suppression, activation d'un objet de texture :

`glGenTextures(...)`
`glDeleteTextures(...)`
`glBindTexture(...)`

GLSL

Accès aux textures :

```
vec4 texture(sampler, texcoord)
```

Exemple :

```
// vertex shader
uniform mat2 texcoord_mat;
uniform mat4 mvp;

in vec4 vtx_position;
in vec2 vtx_texcoord;

out vec2 texcoord;

void main(void) {
    gl_Position = mvp *
                  vtx_position;
    texcoord = texcoord_mat *
               vtx_texcoord;
}
```

```
// fragment shader
uniform sampler2D image;

in vec2 texcoord;

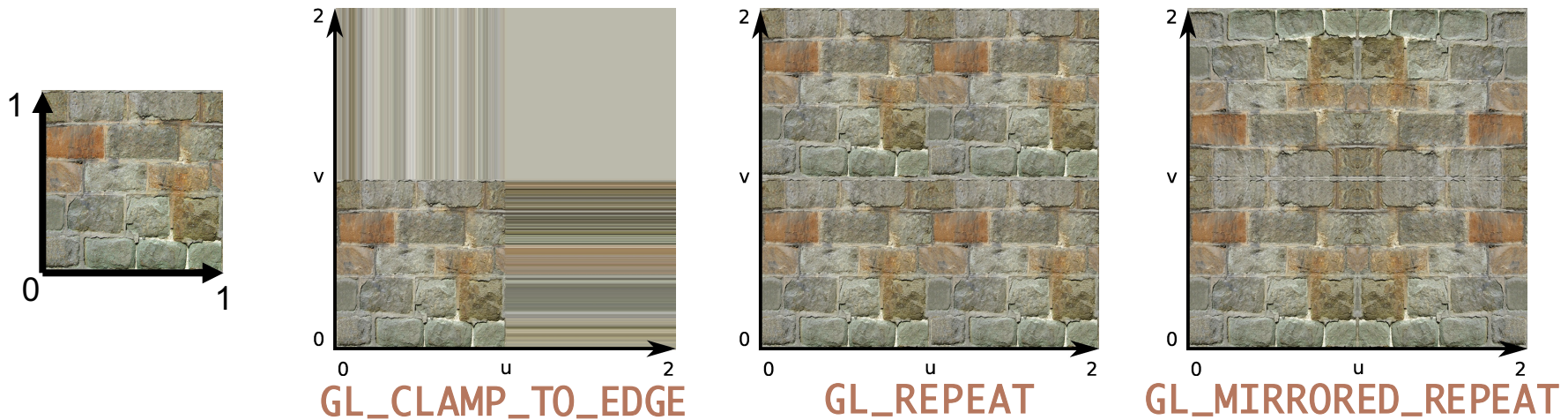
out vec4 out_color;

void main(void) {
    out_color =
        texture(image, texcoord);
}
```

Contrôle du pavage

Gestion des coordonnées de texture **hors de [0,1]**

- **GL_CLAMP_TO_EDGE** : $s = (s < 0 ? 0 : (s > 1 ? 1 : s))$
- **GL_REPEAT** : utilisation de la partie fractionnaire
- **GL_MIRRORED_REPEAT**



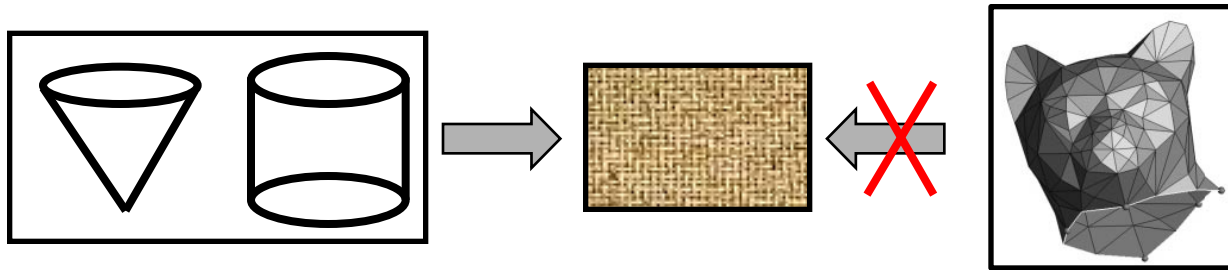
Possibilité d'appliquer une **matrice de transformation**
⇒ effet de changement d'échelle, glissement, etc.

Problèmes

1. **Plaquer une texture sans distorsion**
2. Réduire le Crénelage, l'*aliasing*
3. Synthétiser une texture

Fonction de placage

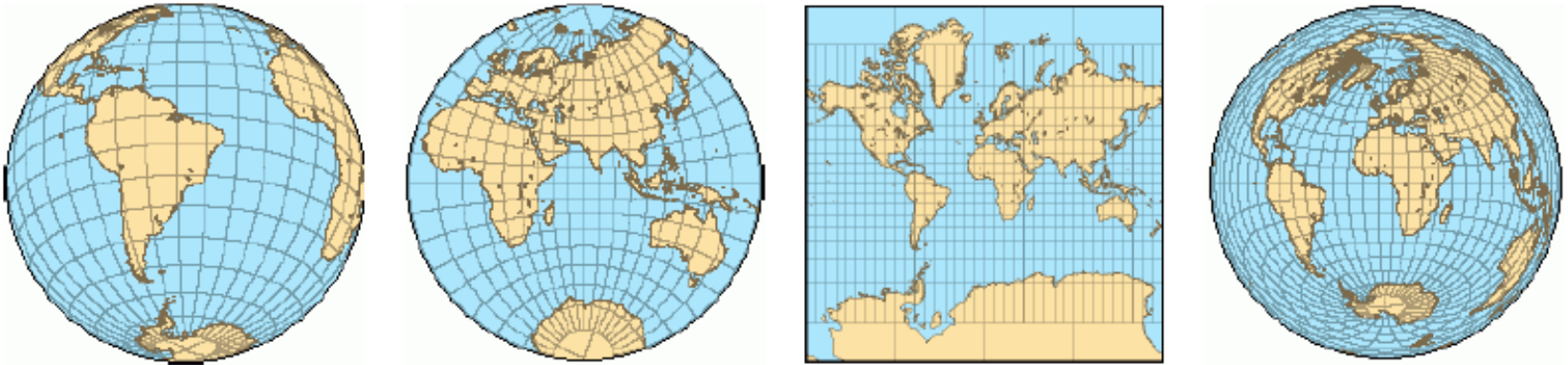
Équivalent à un **dépliage**



Pas toujours possible : **surface développable**
⇒ rendre le problème local

Fonction de placage

Problème bien connu en cartographie



⇒ **Distorsion** globale ou locale

⇒ Choix de conserver les angles, distances, ...

Solutions simples

$$f: (x,y,z) \rightarrow [0,1] \times [0,1]$$

Planaire : projection

$$f(x,y,z) = (\|x\|, \|y\|)$$

Cylindrique

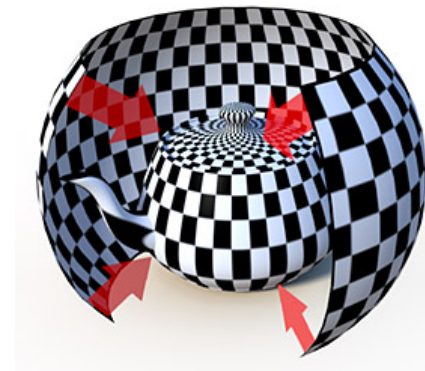
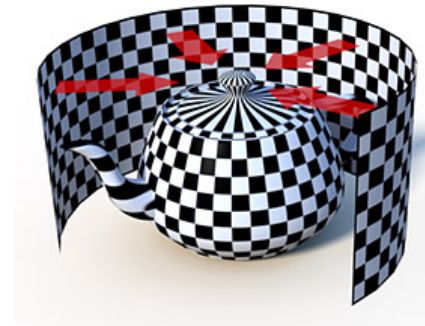
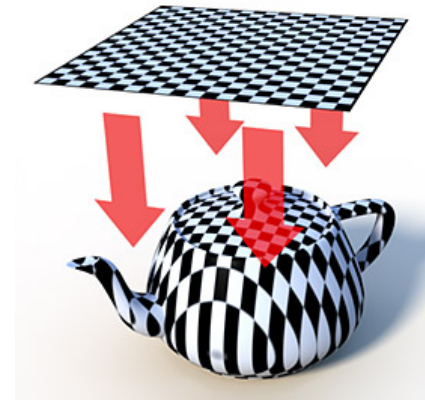
$$f(\theta,y) = (\theta/2\pi, y)$$

avec $\theta = \text{atan}(z/x)$

Sphérique

$$f(\theta,z) = (\theta/2\pi, \Phi/\pi)$$

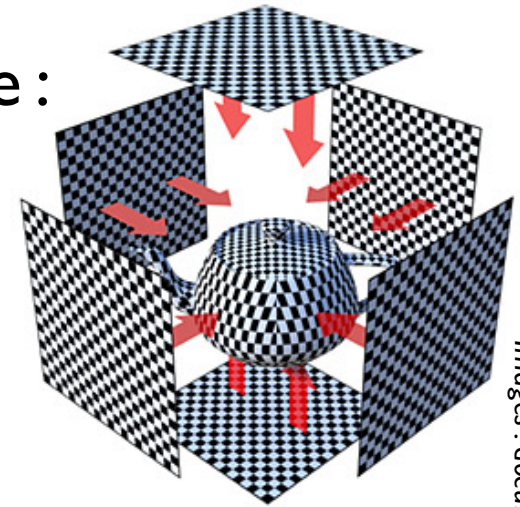
avec $\theta = \text{atan}(z/x)$ et $\Phi = \text{asin}(y)$



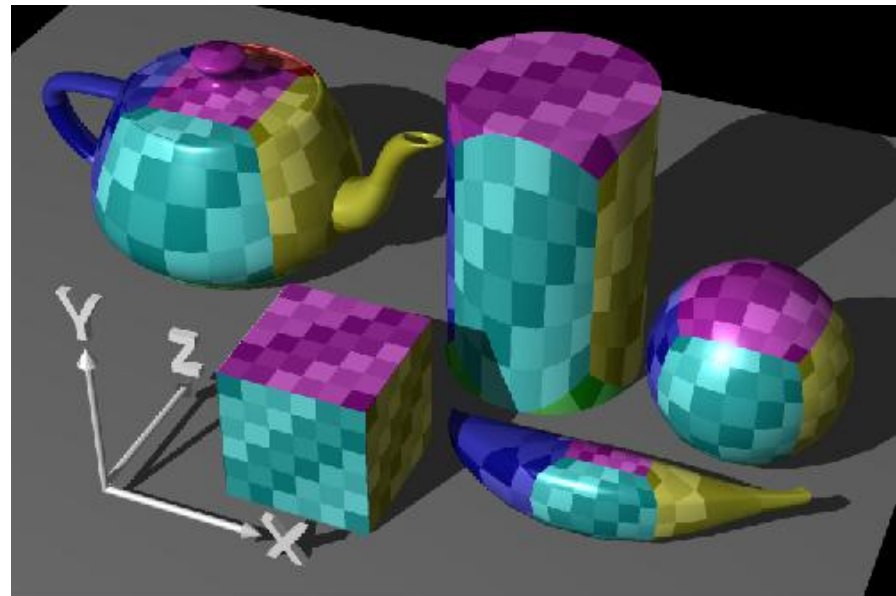
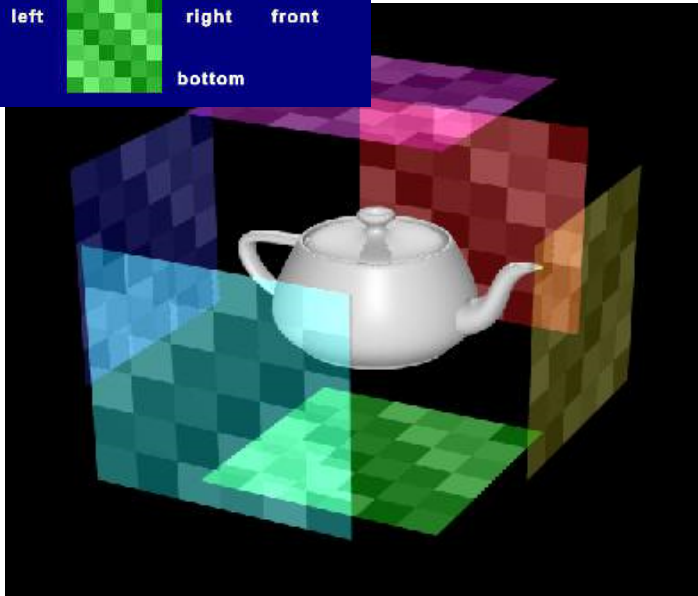
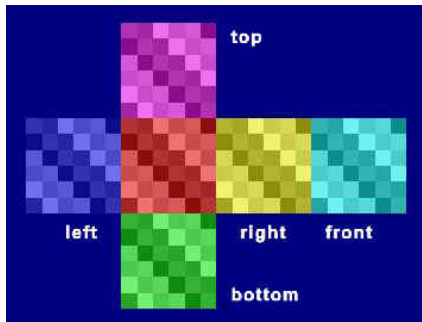
Solutions simples

Passer par un **objet simple** intermédiaire :

1. Dépliage
2. Projection

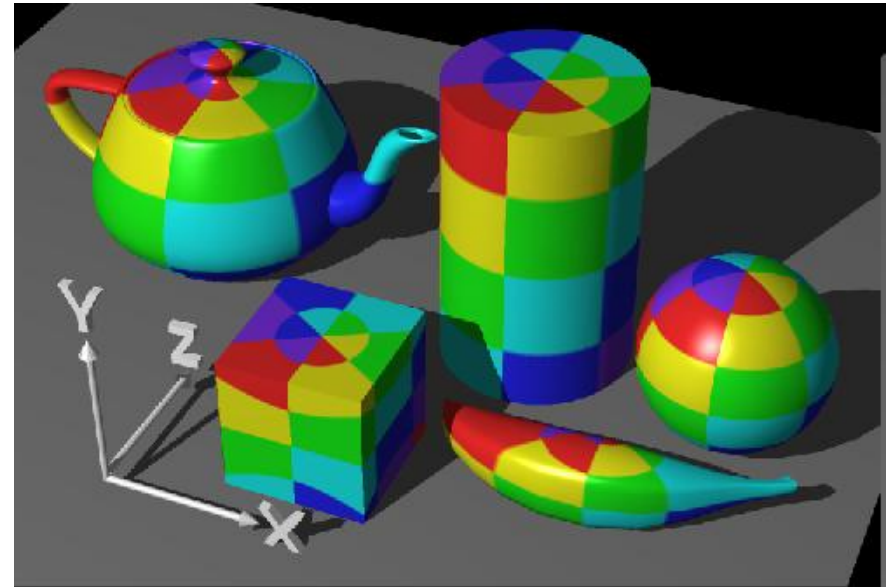
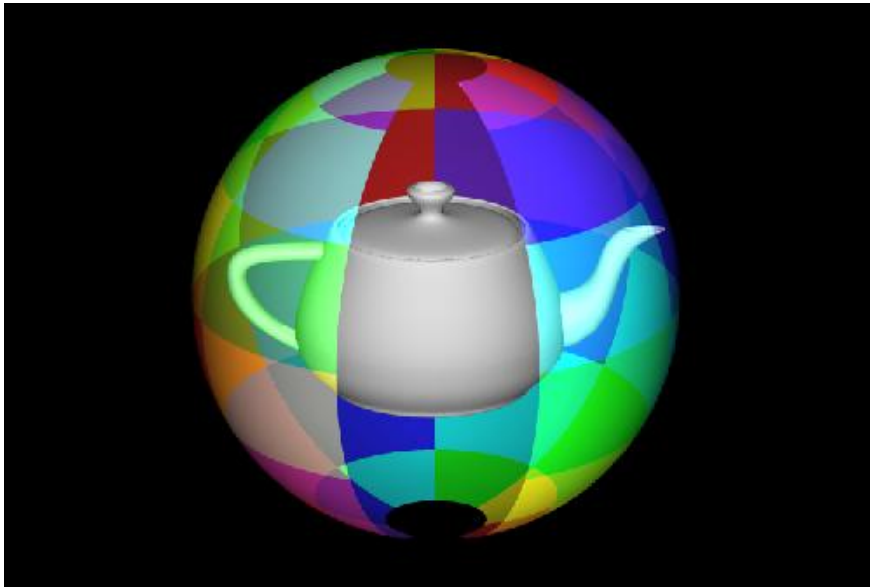


Cube mapping

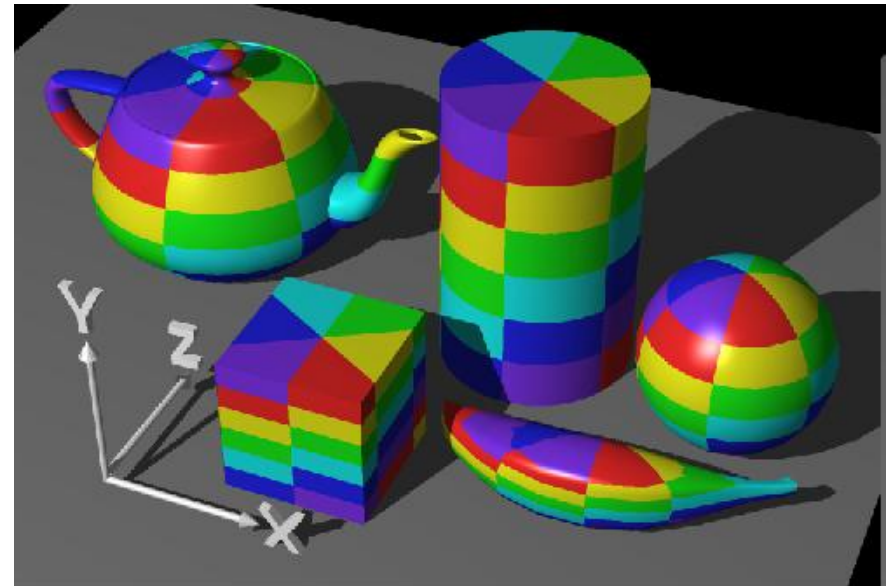


Images : documentation « modo »

Spherical mapping



Cylindrical mapping



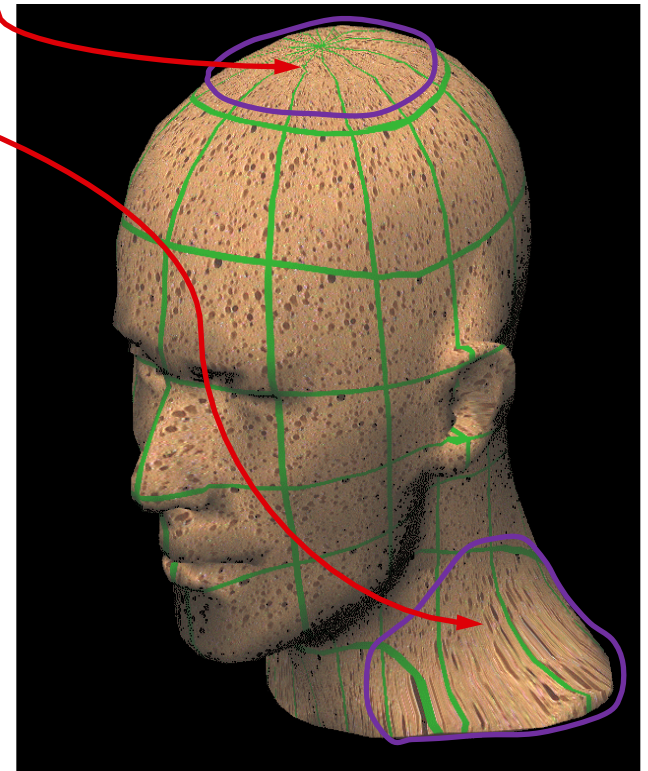
Cas général

Problème d'optimisation de la paramétrisation pour minimiser

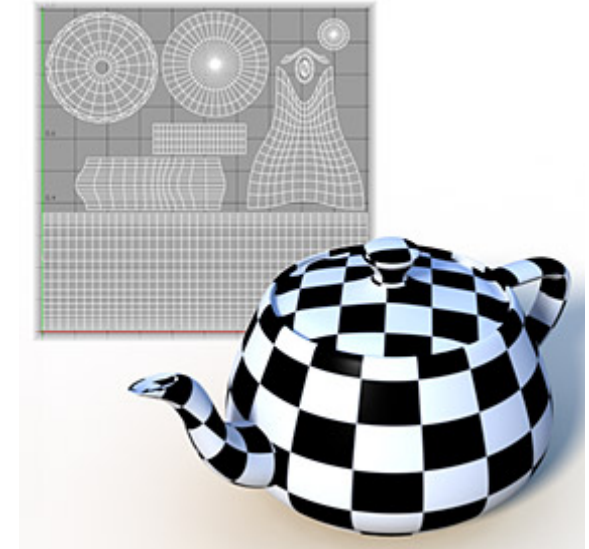
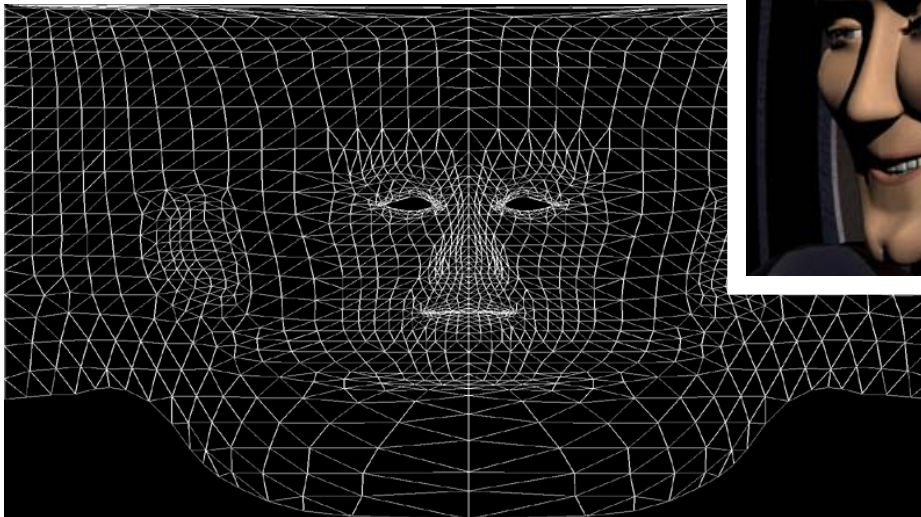
- les **singularités** (pôles)
- les **distorsions**

⇒ Réalisée à la main par les artistes

⇒ Techniques automatiques



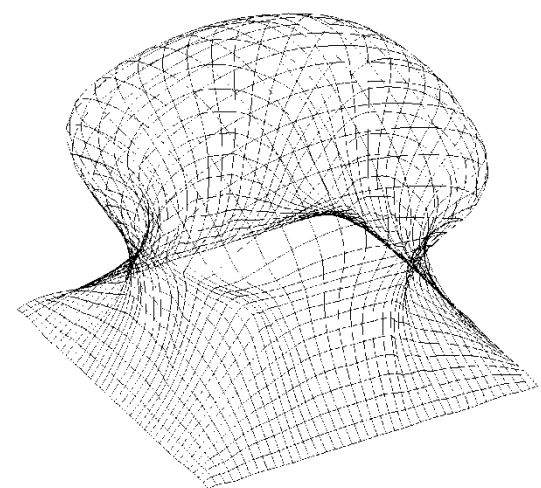
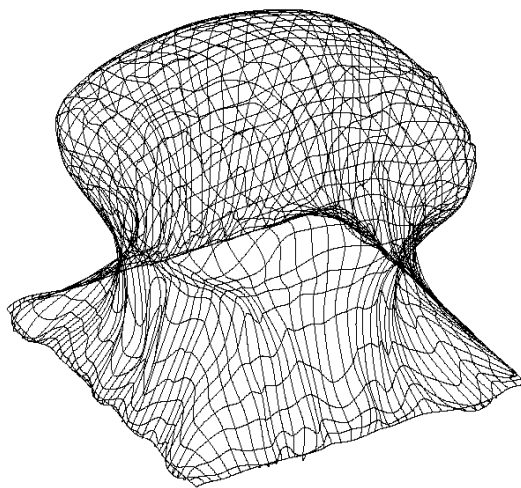
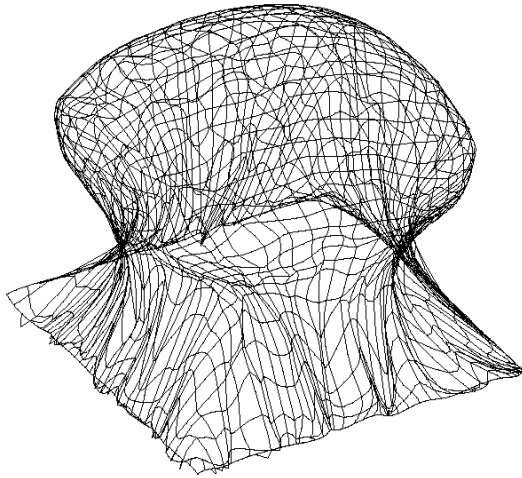
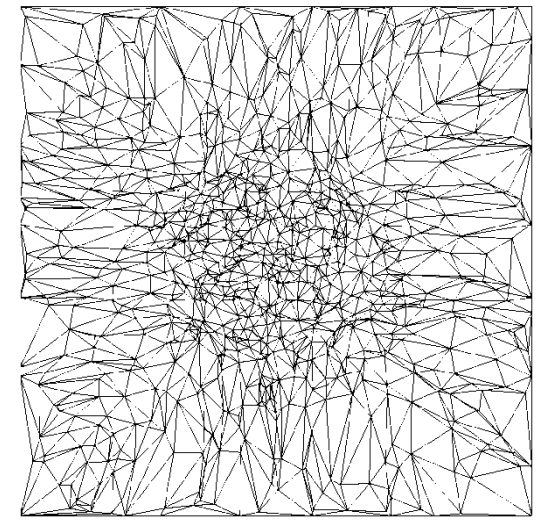
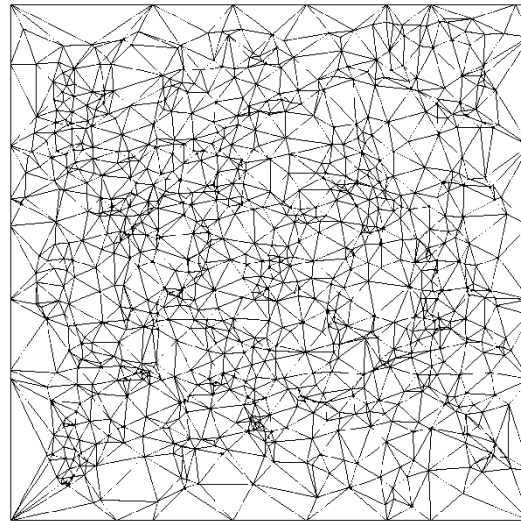
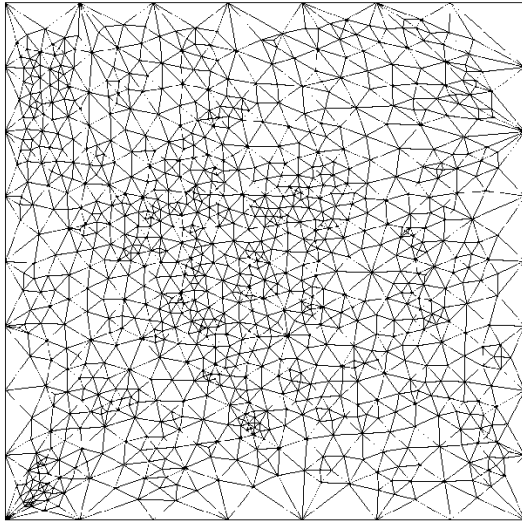
Paramétrisation manuelle



documentation « modo »

<http://www.elfworks.com/Articles/skin-o-matic.html>

Exemples d'optimisations automatiques



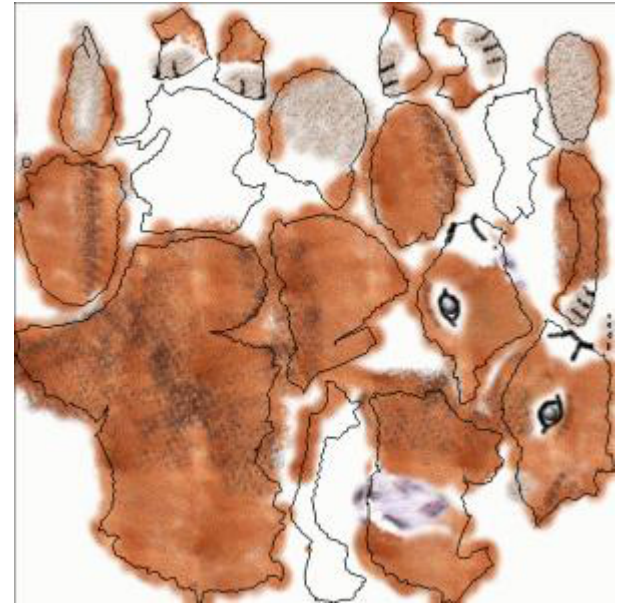
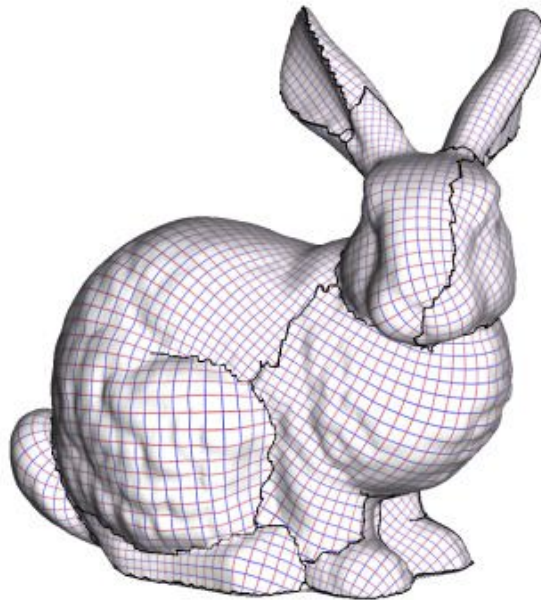
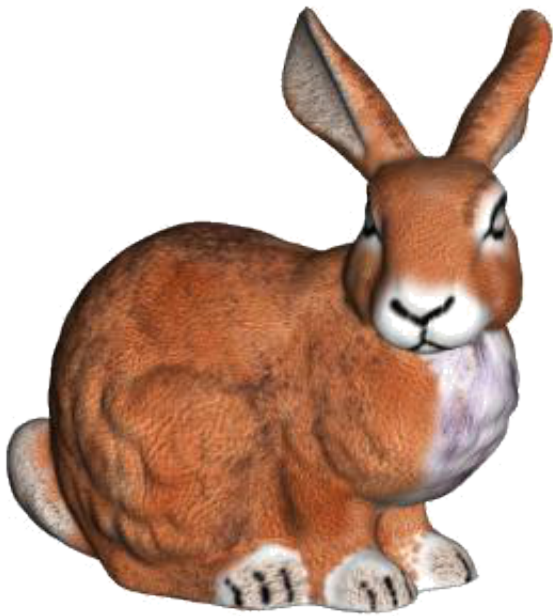
Iso-barycentre

**Conservation
des distances**

Barycentre (3 pts)

Atlas de texture

Décomposition en différents patches



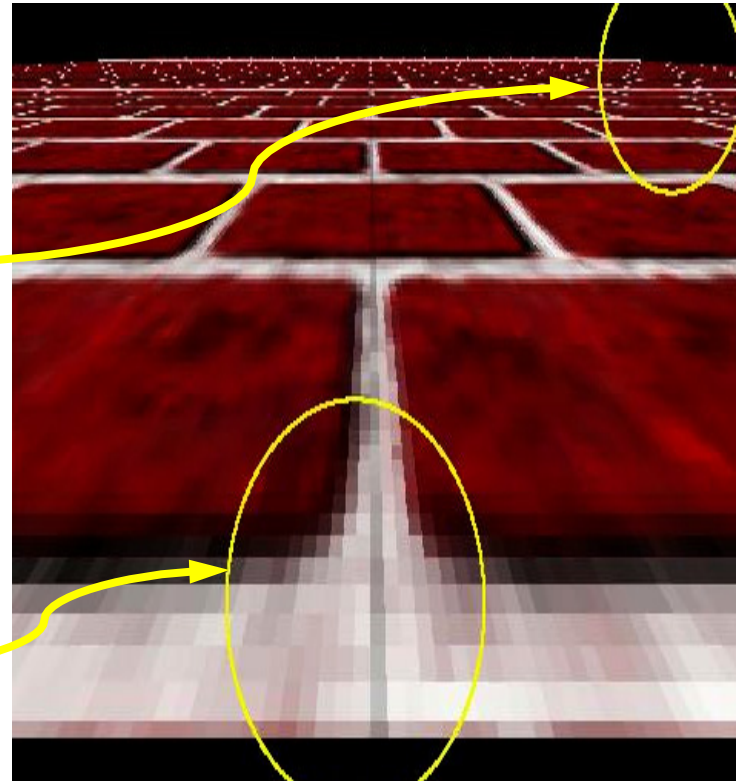
[Lévy et al. 2002]

Problèmes

1. Plaquer une texture sans distorsion
2. **Réduire le Crénelage, l'aliasing**
3. Synthétiser une texture

Plusieurs couleurs pour un pixels

Pixels visibles



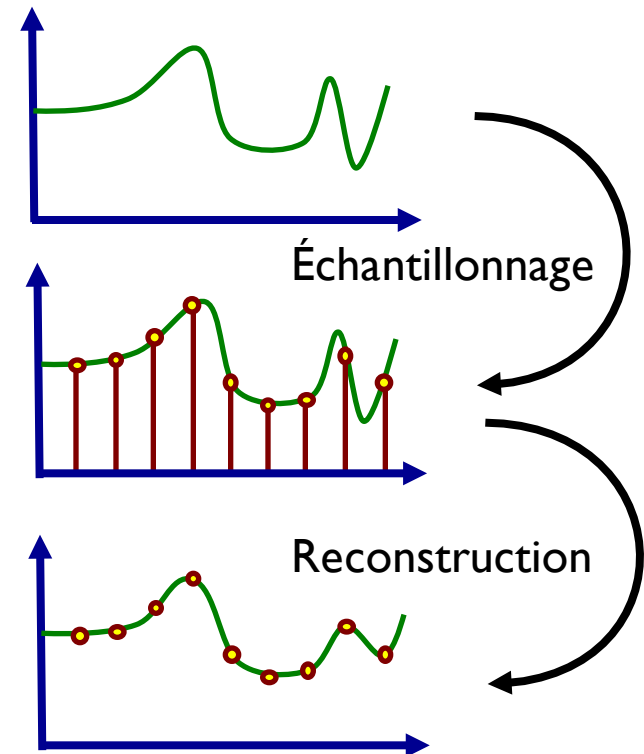
Échantillonnage

La majorité des signaux réels sont **continus**,
mais tout est **discret** en informatique

Échantillonnage et quantification

permettent de passer du continu
au discret

La **reconstruction** essaie
de reconstruire un signal continu
à partir des échantillons quantifiés



Exemple

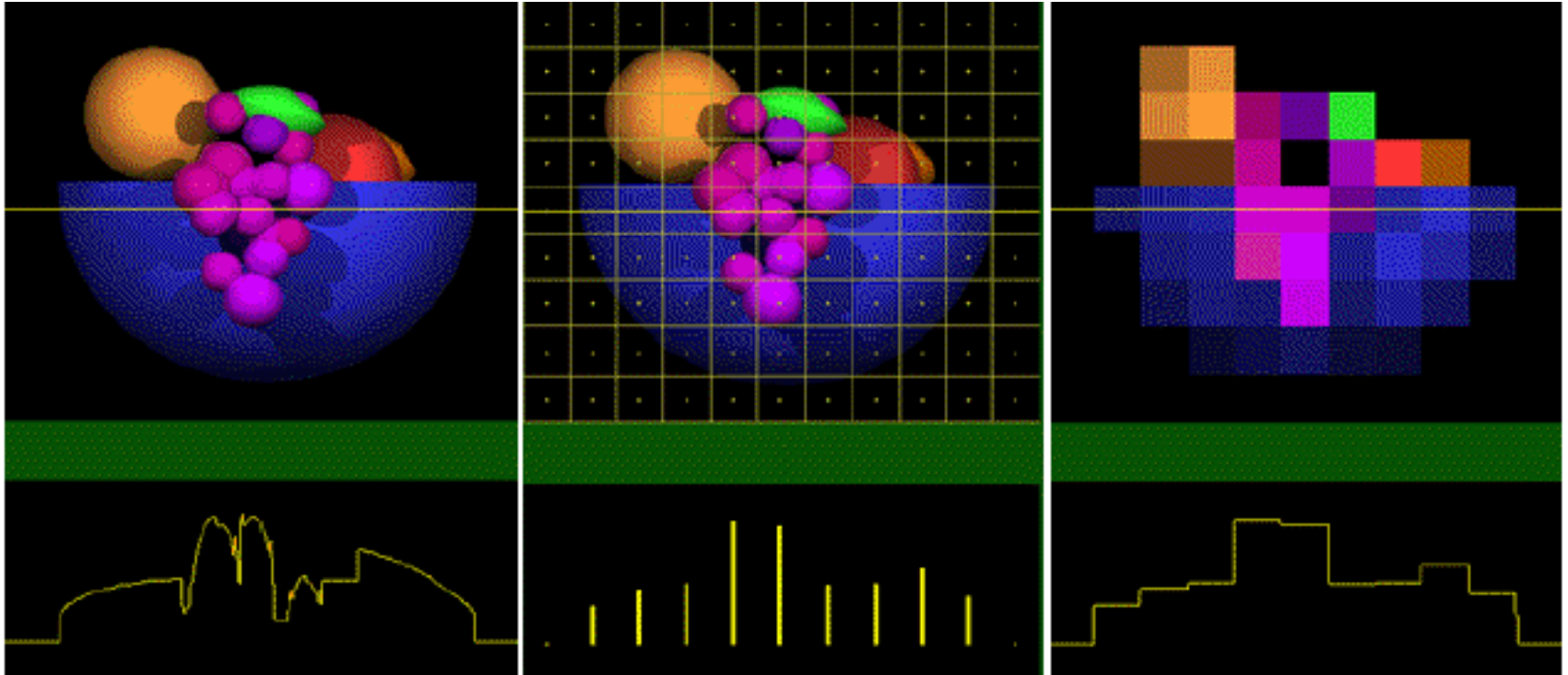
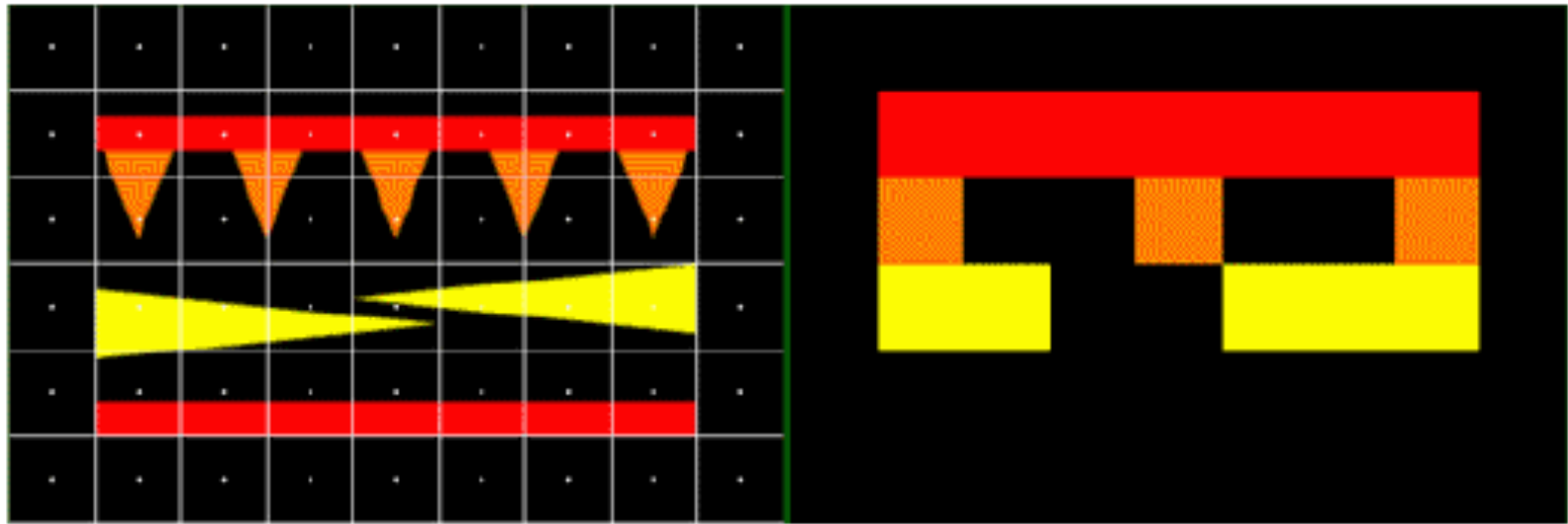


Image d'origine

Échantillons

Reconstruction

Aliasing – perte de détails

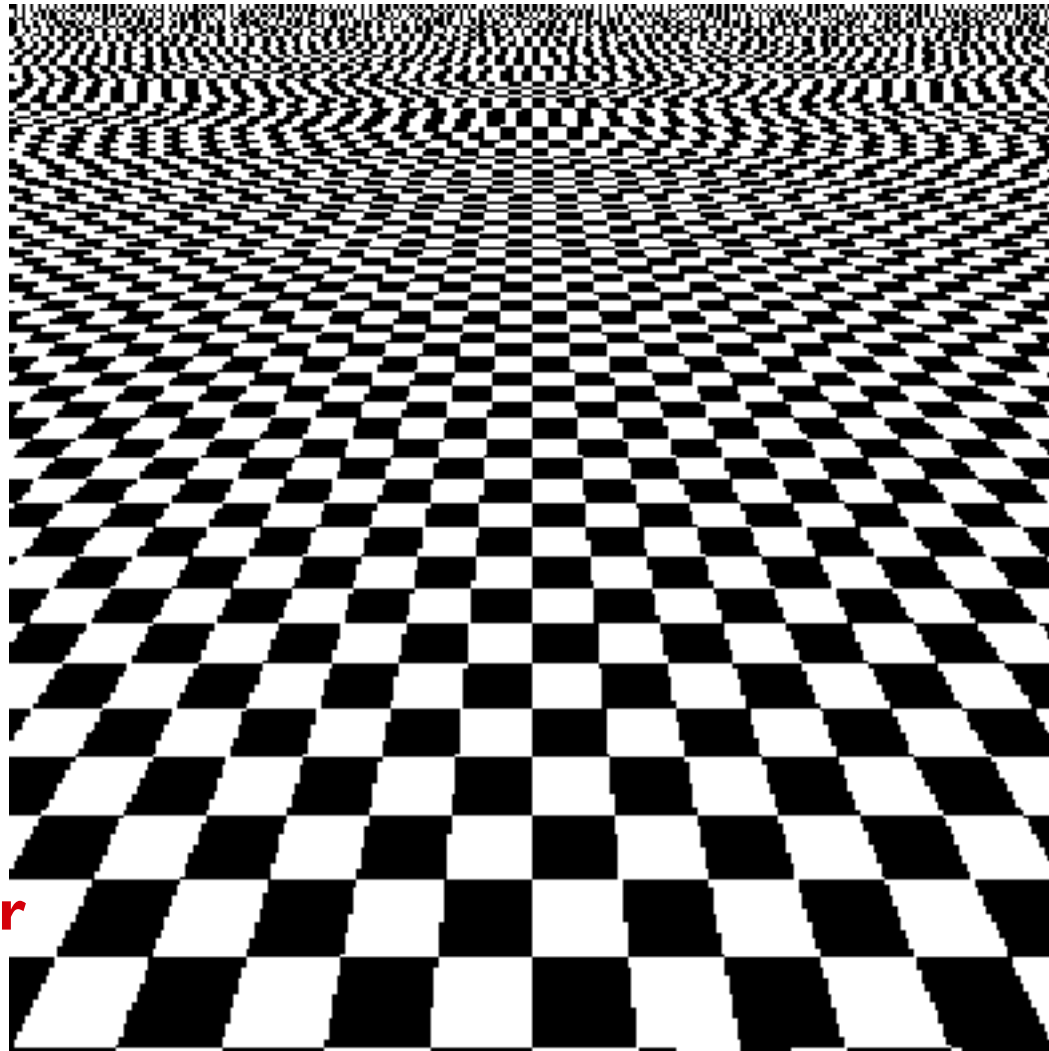


Échantillons

Reconstruction

Aliasing – effet d’escalier / moiré

Moiré



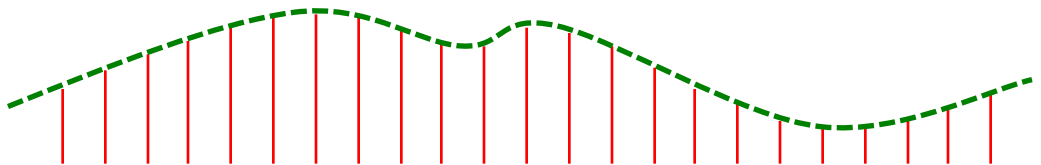
Effet d’escalier

Signal basse fréquence

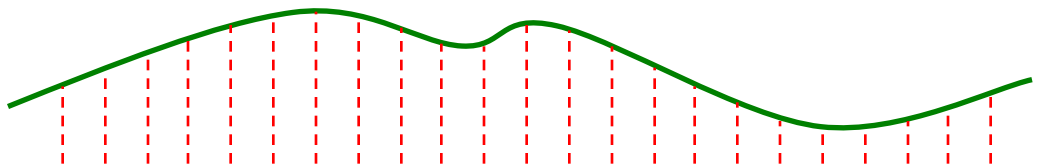
Signal original



Échantillonnage
haute fréquence

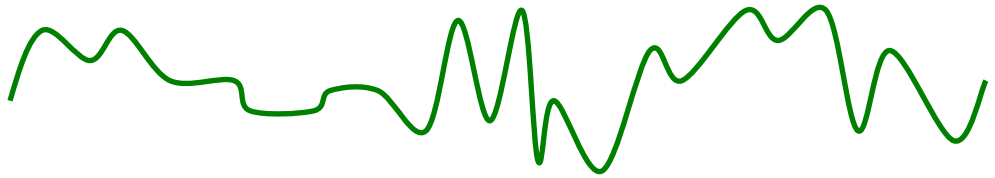


Signal reconstruit

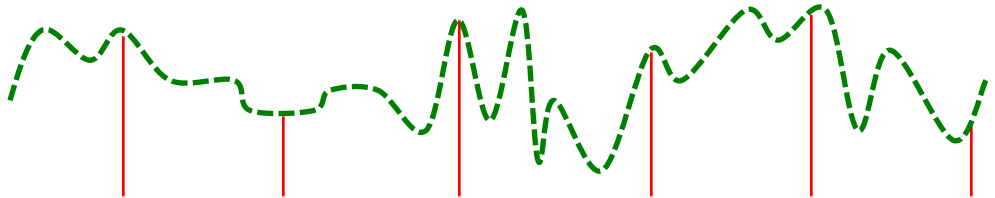


Signal haute fréquence

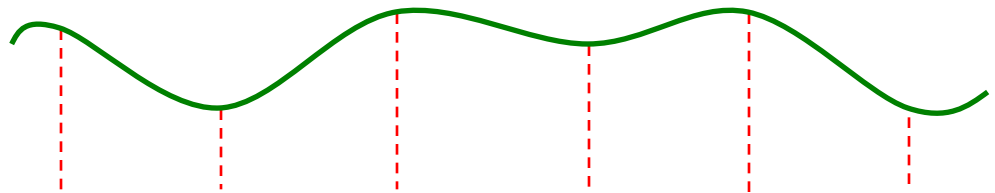
Signal original



Échantillonnage
basse fréquence

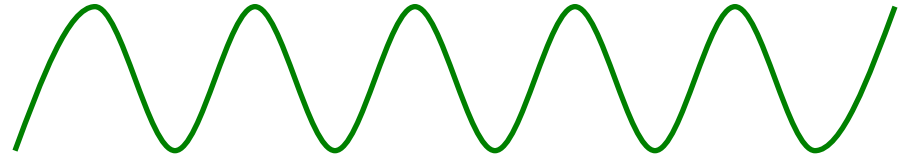


Signal reconstruit

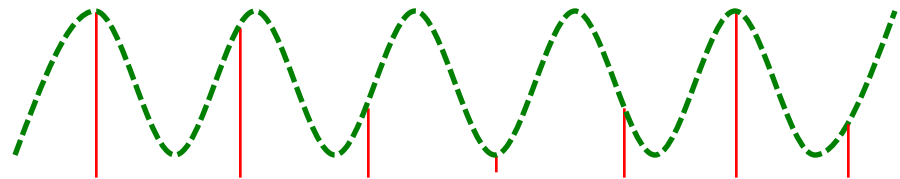


Signaux périodiques

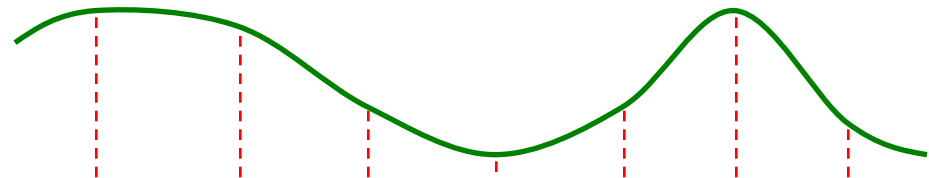
Signal original



Échantillonnage
basse fréquence



Signal reconstruit



Théorème de Nyquist-Shannon

En théorie, pour reconstruire un signal de fréquence f , il faut l'échantillonner à la fréquence $2f$

⇒ **fréquence de Nyquist**

Valide pour les signaux à support fréquentiel fini.

Problème :

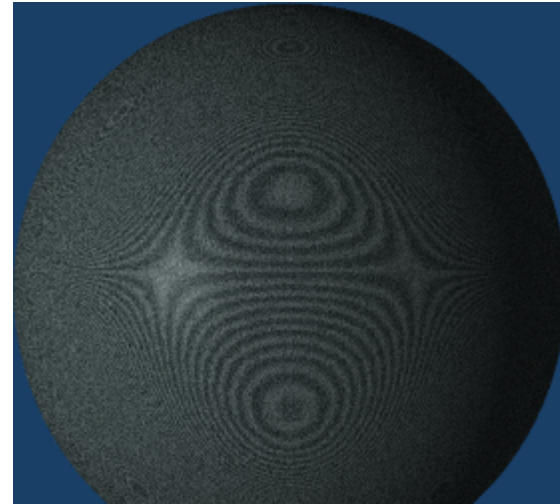
la plupart des images comportent des **discontinuités** (lignes, ombres dures, textures, taches spéculaires, etc.)

⇒ **fréquences infinies !**

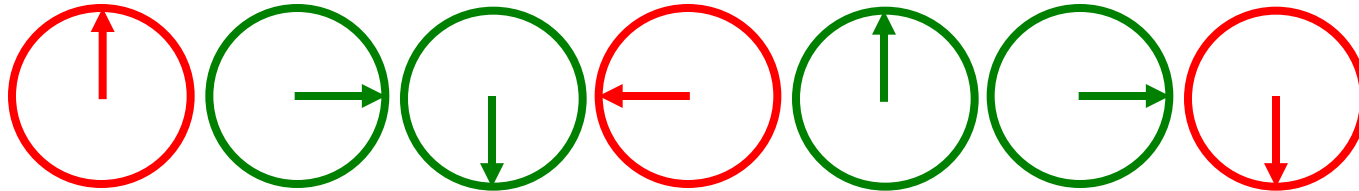
Aliasing

Spatial

- Effets d'escalier, Moiré, etc.



Temporel



Antialiasing



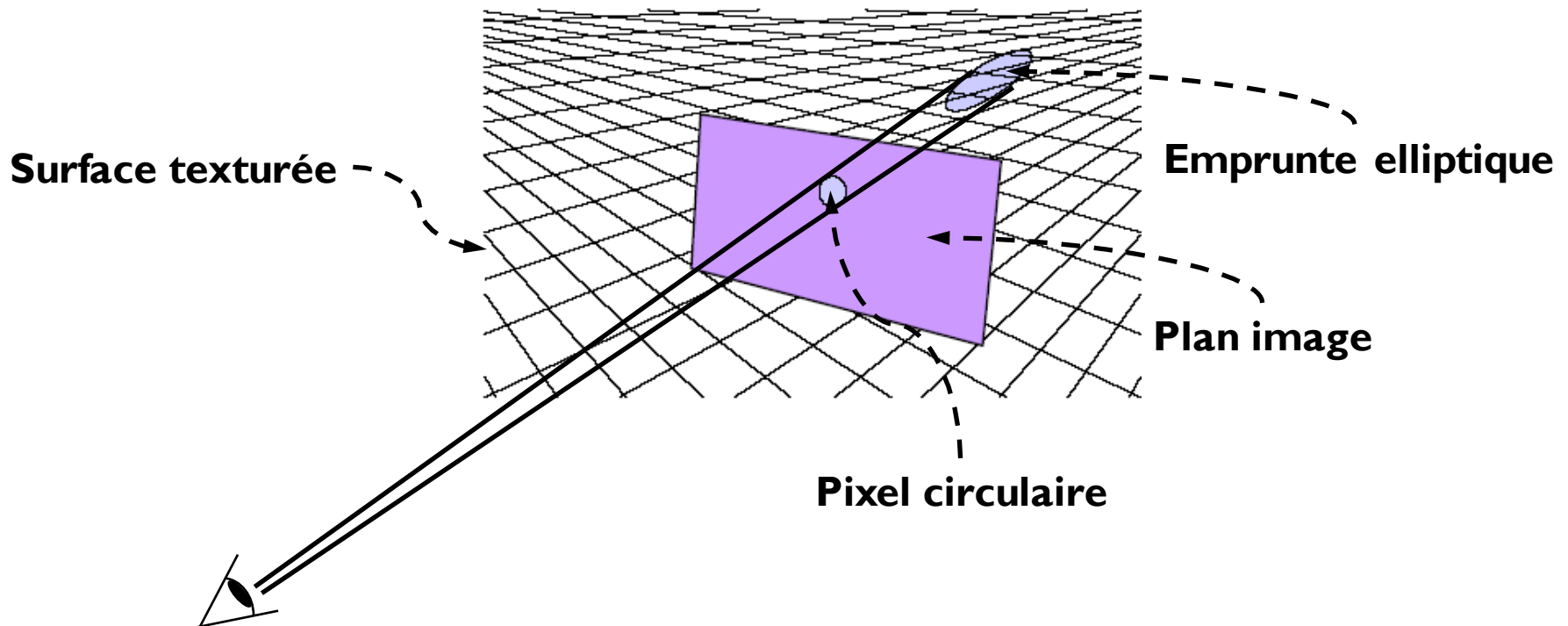
Antialiasing

Théorie :

Projection du pixel sur la texture et **intégration** de la couleur sur l'aire du pixel projeté

⇒ Très couteux

En pratique : **approximations !**

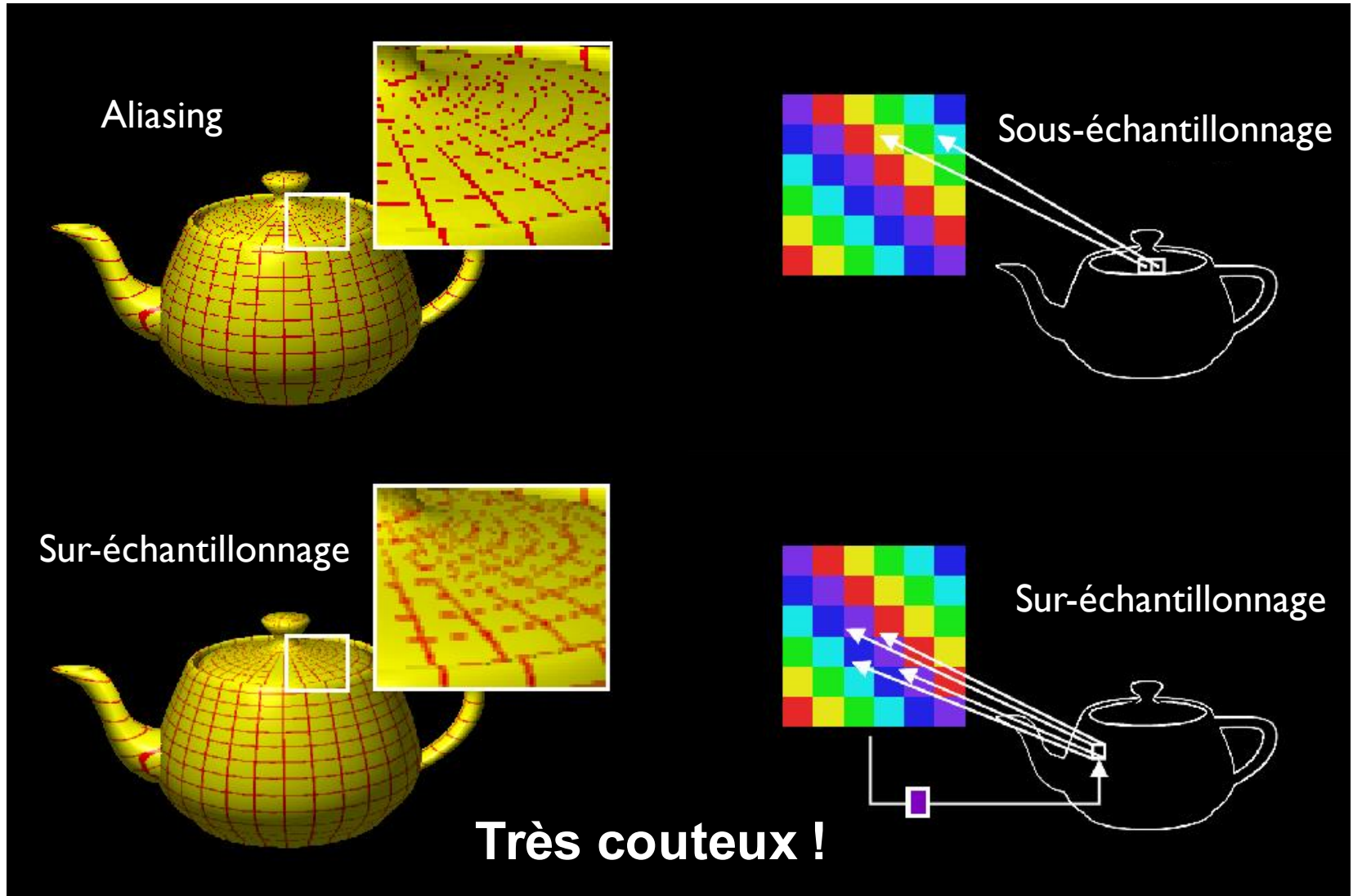


Antialiasing

Échantillonner à **plus haute fréquence**

- Pas toujours possible (coût, contraintes matériels)
- Signaux réels ont des fréquences infinis

Sur-échantillonnage

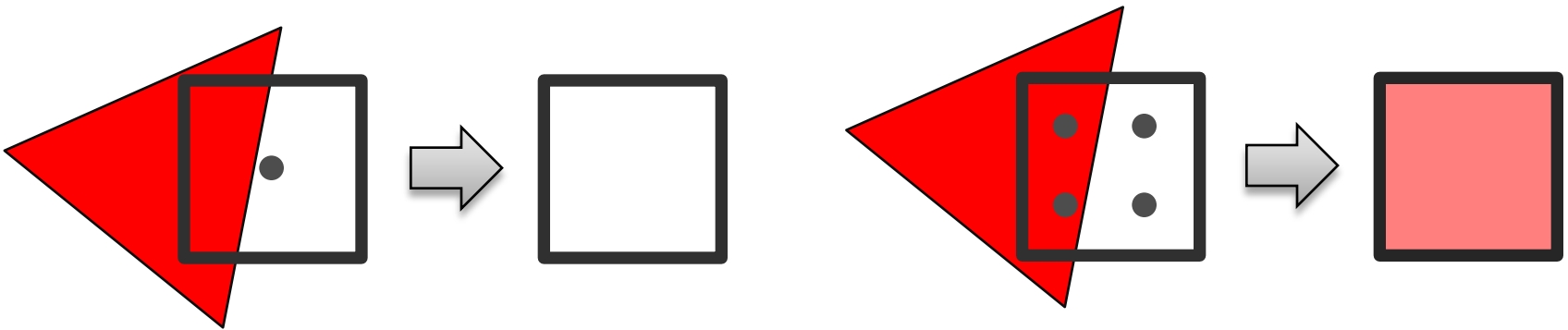


Sur-échantillonnage

Stratégie générale

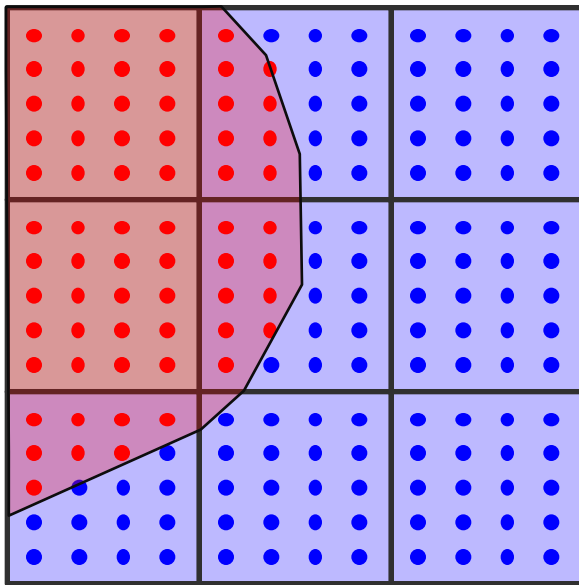
- Utiliser plusieurs échantillons par pixel
- Moyenner ces échantillons pour obtenir la couleur finale

$$\text{couleur du pixel } (x, y) = \sum_{i=1}^n w_i c(i, x, y)$$

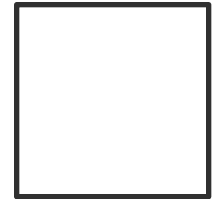


Sur-échantillonnage

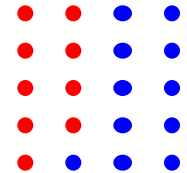
Full Screen Anti-Aliasing (FSAA)



1. **Sur-échantillonner**
chaque pixel



1. **Moyenner** les couleurs
de chaque échantillon



$$w_i = \frac{1}{n}$$

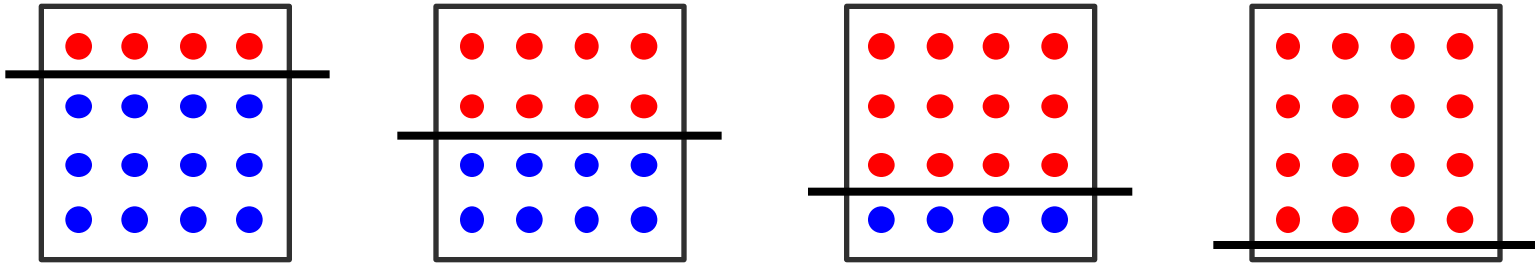
⇔ à générer l'image à une plus grande résolution
puis à réduire sa taille en moyennant

Motif d'échantillonnage

Grille régulière

- Efficace pour les diagonales
- Pas efficace pour les lignes proches de l'horizontal / vertical

⇒ avec 4x4 échantillons, **seulement 4 tons de rouge !**

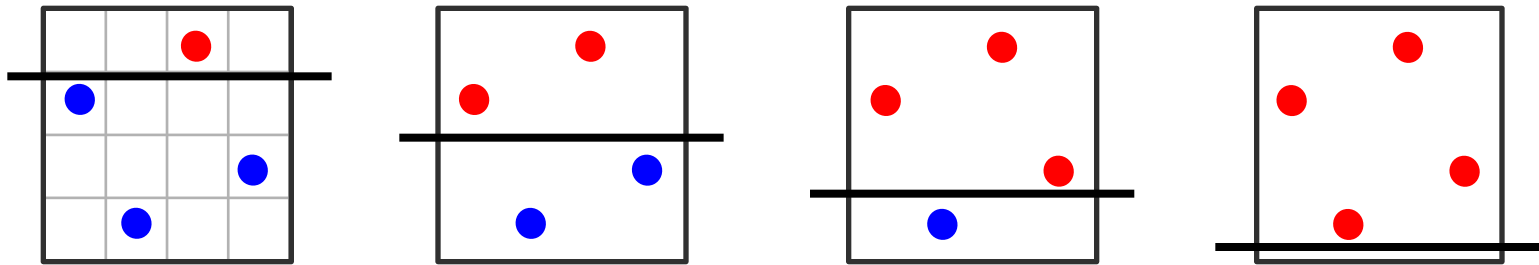


Motif d'échantillonnage

Rotated Grid Super sampling (RGSS)

- Rotation d'une grille régulière
- Diagonales moins efficaces, mais mieux en moyenne

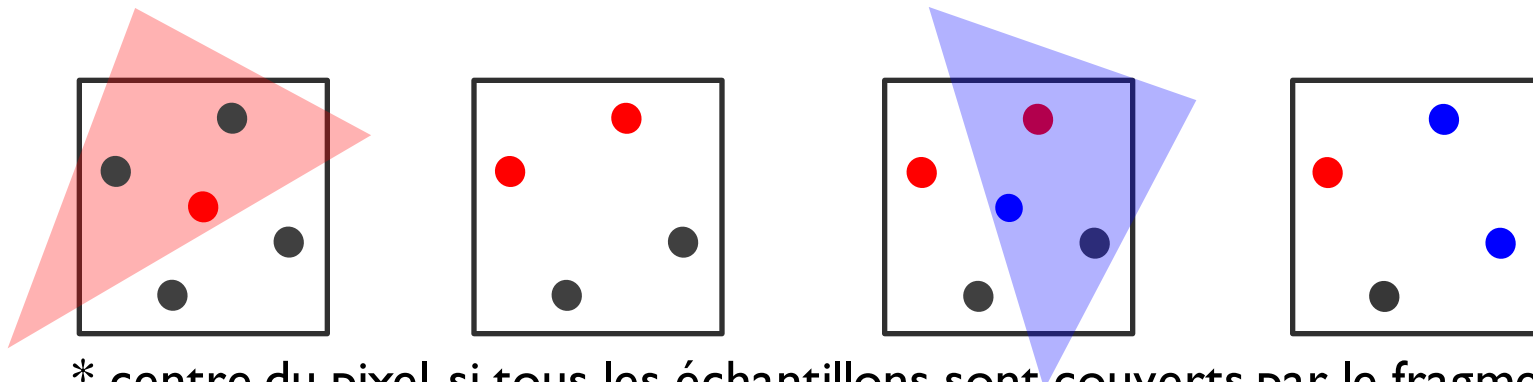
⇒ **4 tons de rouge avec seulement 4 échantillons !**



Multisample AA (MSAA)

Calculer la couleur pour chaque échantillon **couteux**

- Calculer la **couleur pour un seul échantillon***, mais calculer la **visibilité de tous les échantillons**
- Écrire la **même couleur** pour tous les échantillons visibles



* centre du pixel si tous les échantillons sont couverts par le fragment, sinon peut être déplacé (*centroid interpolation*)

En OpenGL : `glEnable(GL_MULTISAMPLE)`

<http://www.opengl.org/wiki/Multisampling>

Antialiasing

Échantillonner à plus haute fréquence

- Pas toujours possible (coût, contraintes matériels)
- Signaux réels ont des fréquences infinis

Pré-filtrage pour limiter les hautes fréquences

- Filtre passe-bas spatial (mip-map) / flou cinétique
- Compromis entre flou et aliasing

Pré-filtrage

Supprimer les hautes fréquences qui créent les artefacts lors de la minification

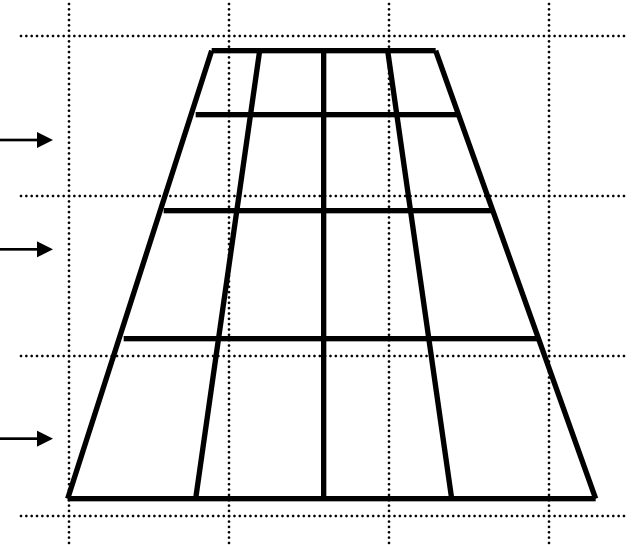
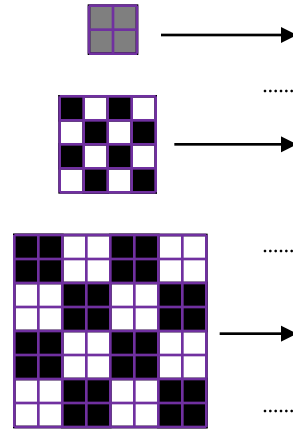
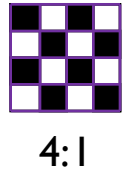
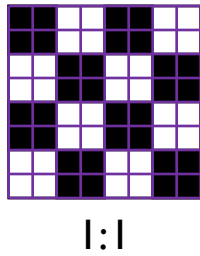
Intégration (convolution) **variant spatialement** en chaque pixel

⇒ **trop coûteux**

⇒ en pré-calculer une **approximation**

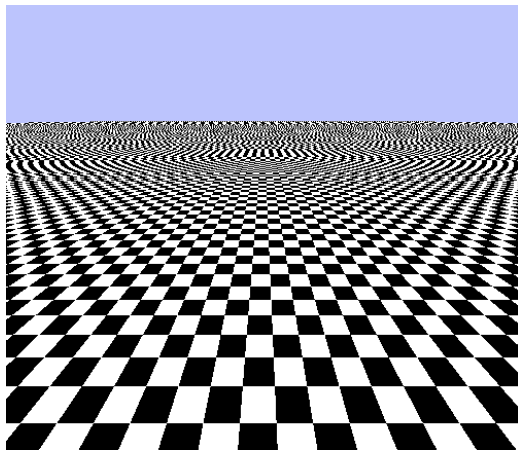
MIP Mapping

Pyramide d'images pré-filtrées

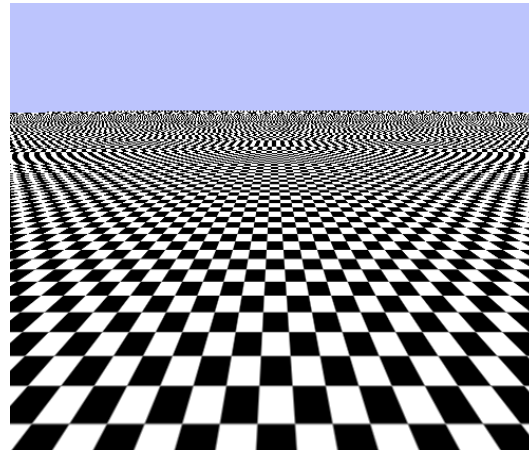


Génération automatique

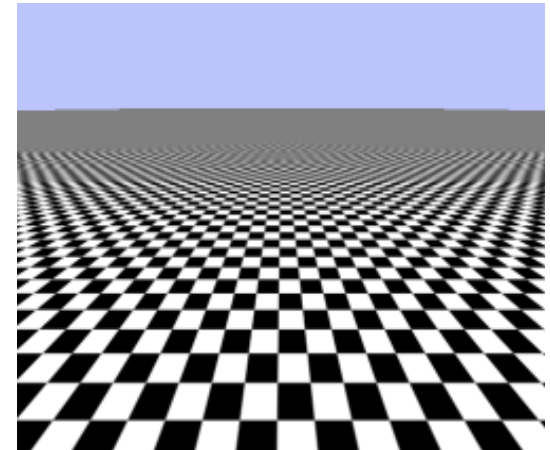
`GL_GENERATE_MIPMAP, glGenerateMipmap()`



Plus proche voisin
`GL_NEAREST`



Filtrage linéaire
`GL_LINEAR`

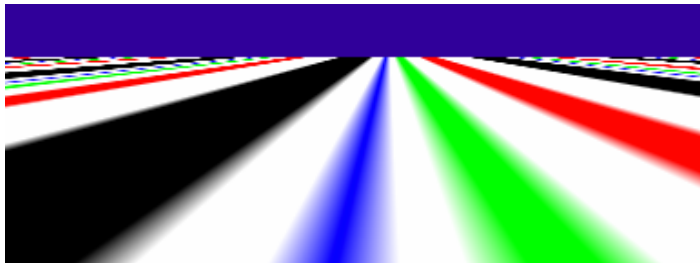


MIP mapping
`GL_LINEAR_MIPMAP_LINEAR`

MIP Mapping

Problème : ne tient pas compte de l'**anisotropie**

L'approximation carrée de la *MIP-map* devient mauvaise...



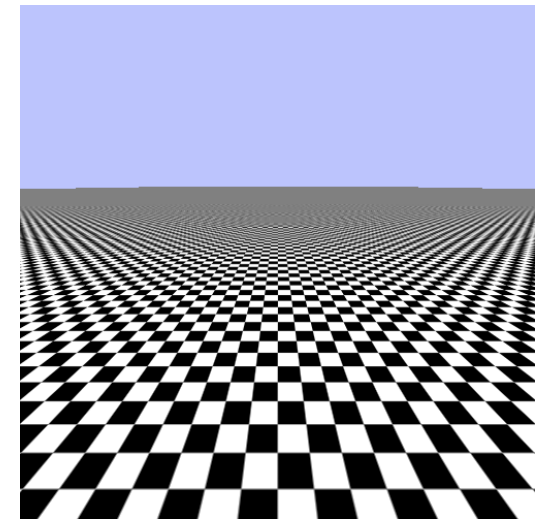
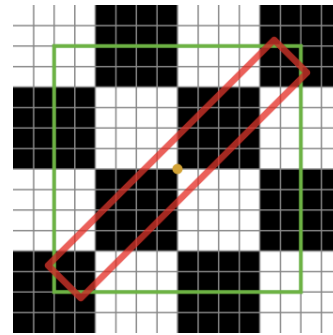
Plus proche voisin



MIP Mapping

Solutions (plus coûteuses)

- Filtrage anisotrope matériel, mais « brute-force »
- *Elliptical weighted average* calcul de empreinte elliptique du pixel



Filtrage anisotrope

Antialiasing

Échantillonner à plus haute fréquence

- Pas toujours possible (coût, contraintes matériels)
- Signaux réels ont des fréquences infinis

Pré-filtrage pour limiter les hautes fréquences

- Filtre passe-bas spatial (mip-map) / flou cinétique
- Compromis entre flou et aliasing

Filtrage en post-traitement

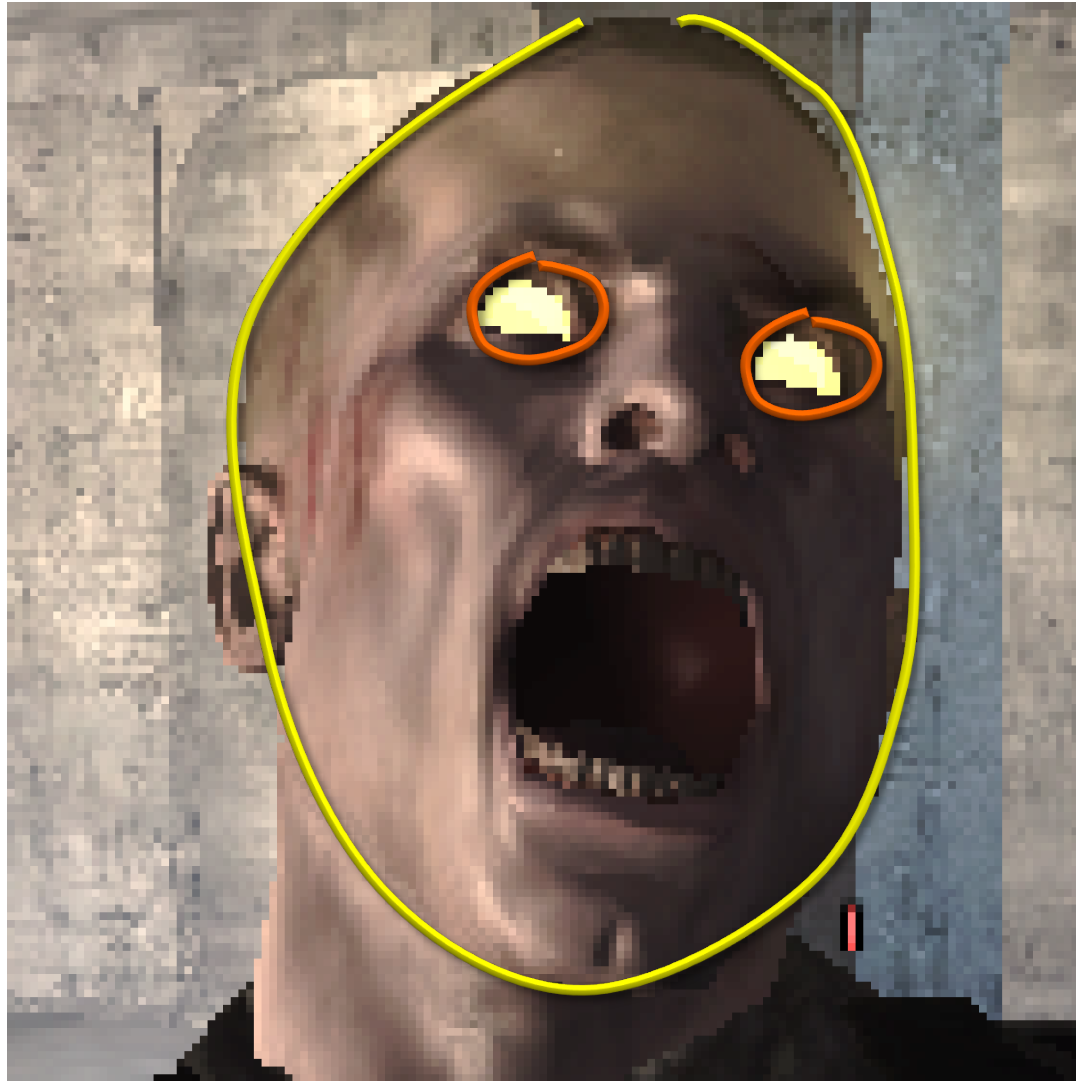
- En général incorrect (en particulier temporellement)
- Utilisable dans des cas particuliers (effets d'escalier)

Filtrage en post-traitement



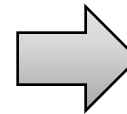
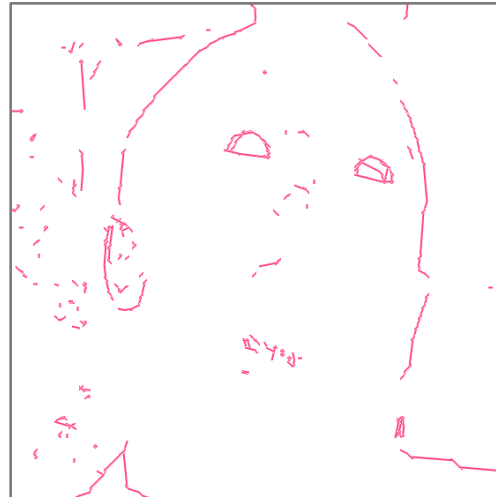
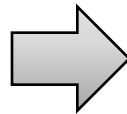
Cours Siggraph 2011 : <http://www.iryoku.com/aacourse/>

Filtrage en post-traitement



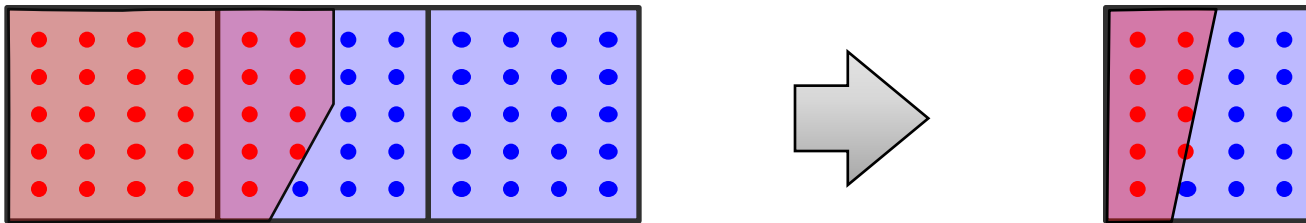
Filtrage en post-traitement

1. Détecter les silhouettes
 2. Filtrer les couleurs près des silhouettes
- ⇒ **MorphoLogical AntiAliasing (MLAA)**



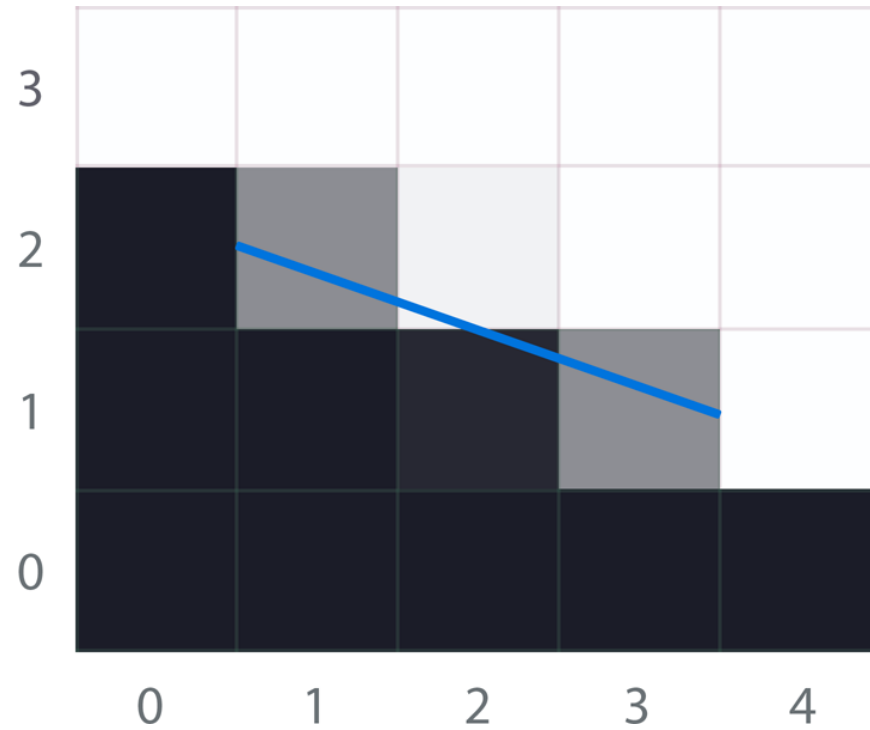
Pourquoi ça devrait marcher ?

Pour les pixels avec 2 couleurs distinctes, l'intégrale peut être approximée par le calcul de l'aire :



$$\text{pixel du milieu} = \text{trapezoid} * \text{red dot} + \text{trapezoid} * \text{blue dot}$$

MLAA [Reshetov 2009]



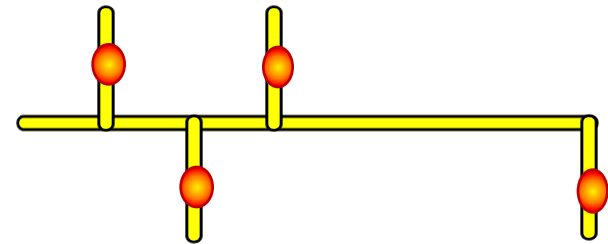
MLAA



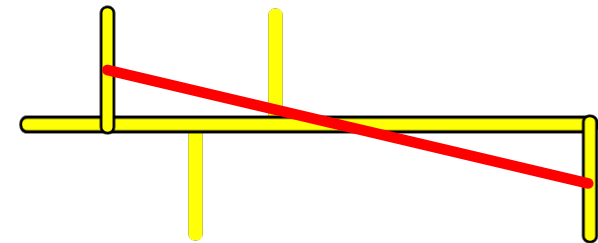
MLAA – règle 2/2

Pour chaque ligne de séparation :

Considérer toutes les lignes orthogonales adjacentes

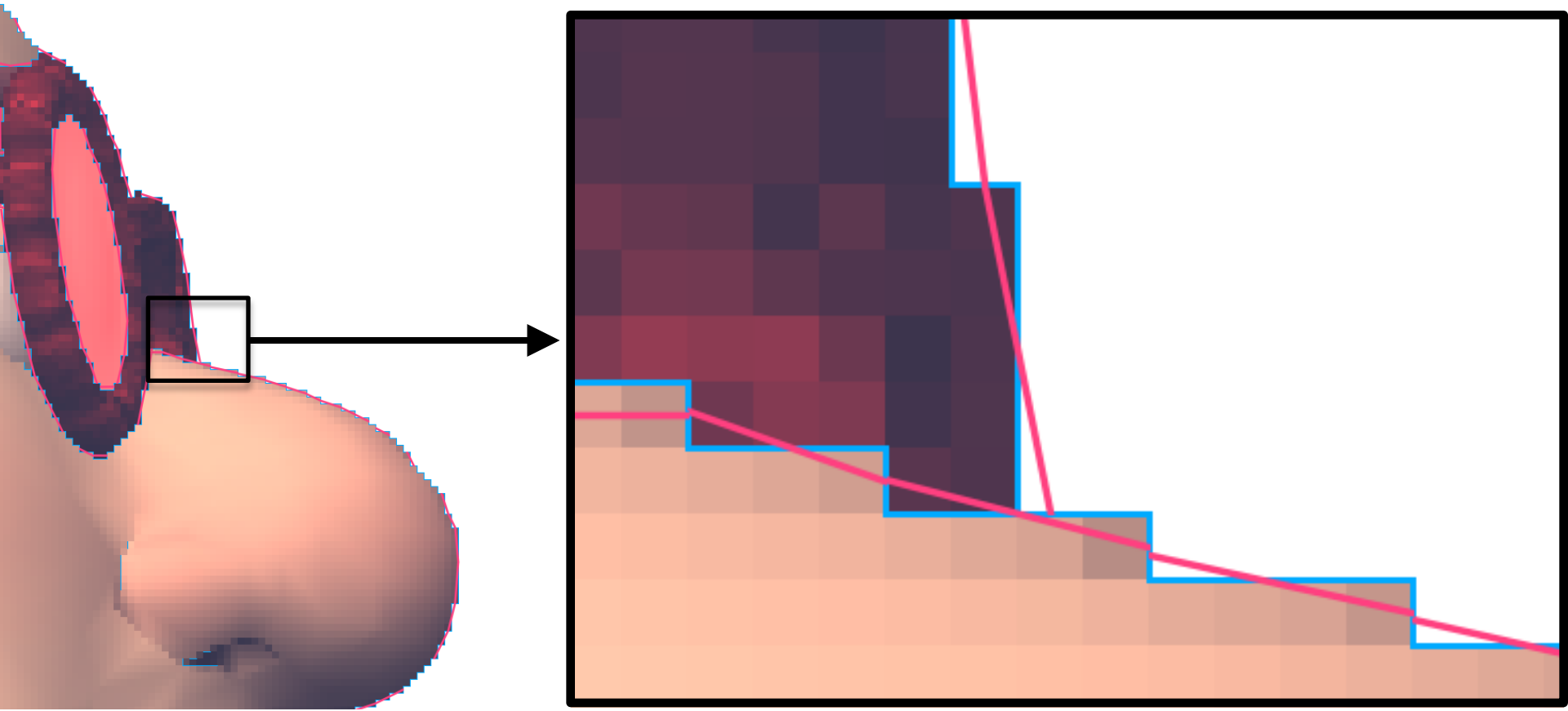


Choisir le plus long segment

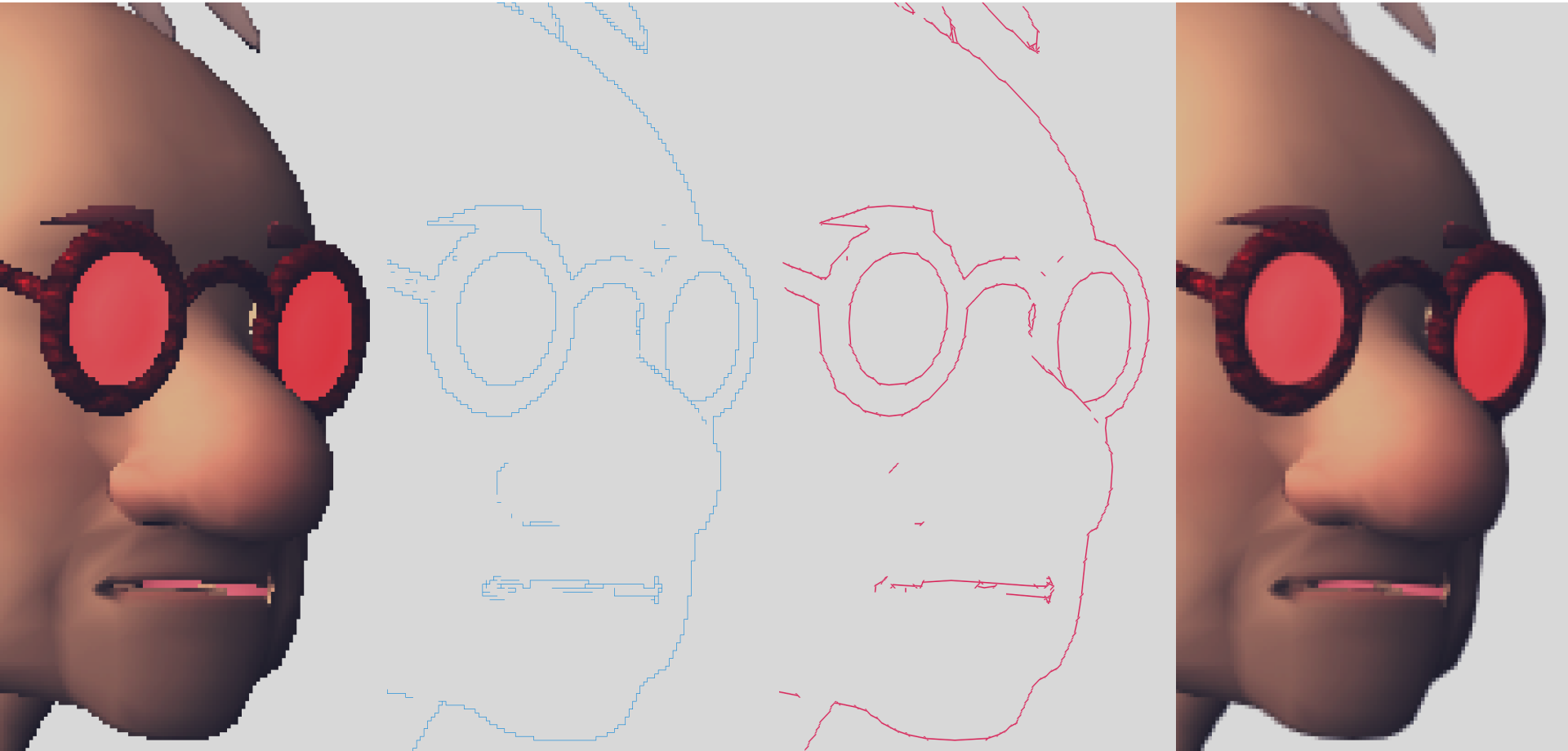


MLAA – règle 2/2

⇒ gérer correctement les intersections d'objets

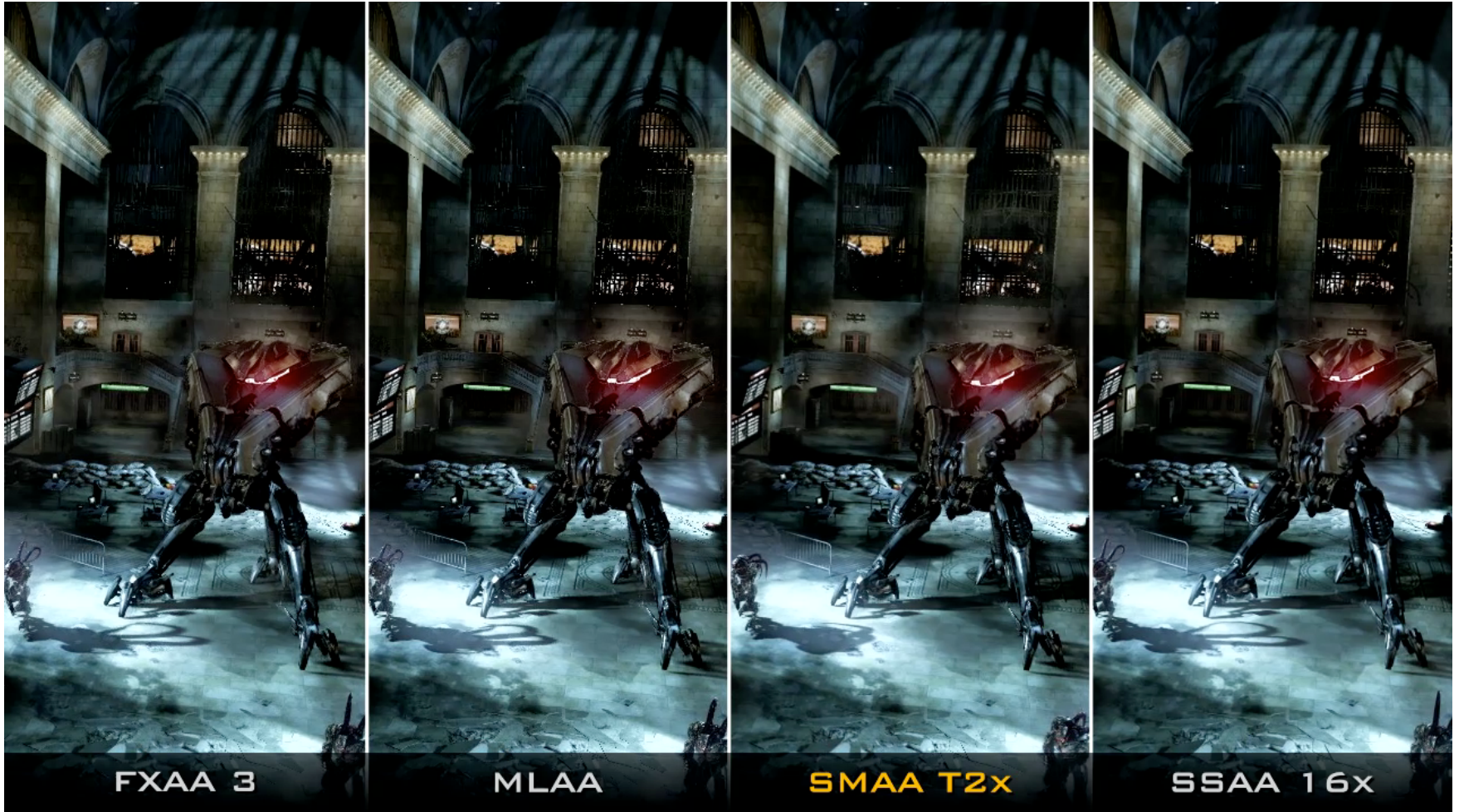


MLAA



SMAA [Jimenez et al. 2011]

Subpixel Morphological Antialiasing



Problèmes

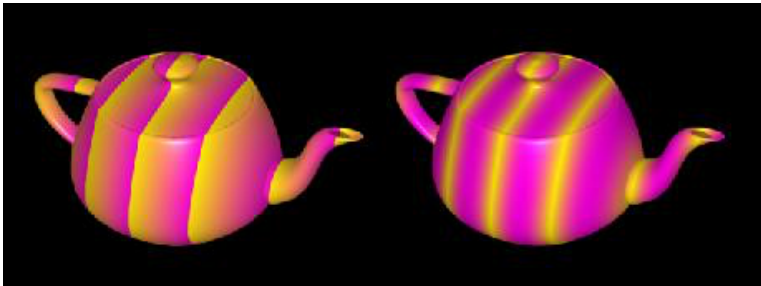
- ▶ Plaquer une texture sans distorsion
- ▶ Réduire le Crénelage, l'aliasing
- ▶ **Synthétiser** une texture



par Hugo Beyer, créées avec *Substance Allegorithmic*

Textures procédurales

Résultat d'une **fonction mathématique** ou d'un **programme** + *color map*

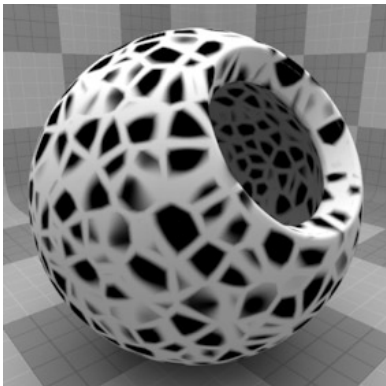


$$\text{mod}(x,a)/a$$

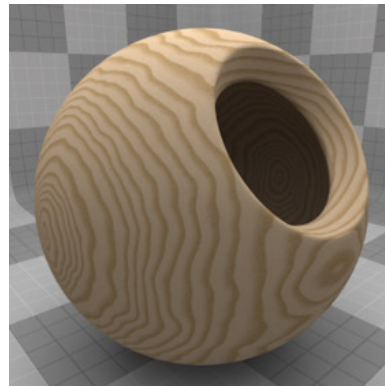
$$(\sin(x)+1)/2$$



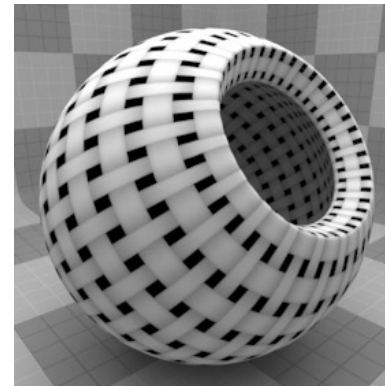
[Gardner 1985]



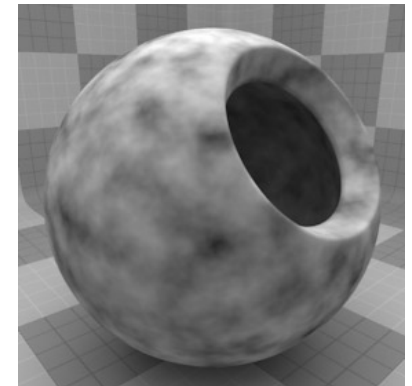
Texture cellulaire
[Worley 1996]



Texture de bois

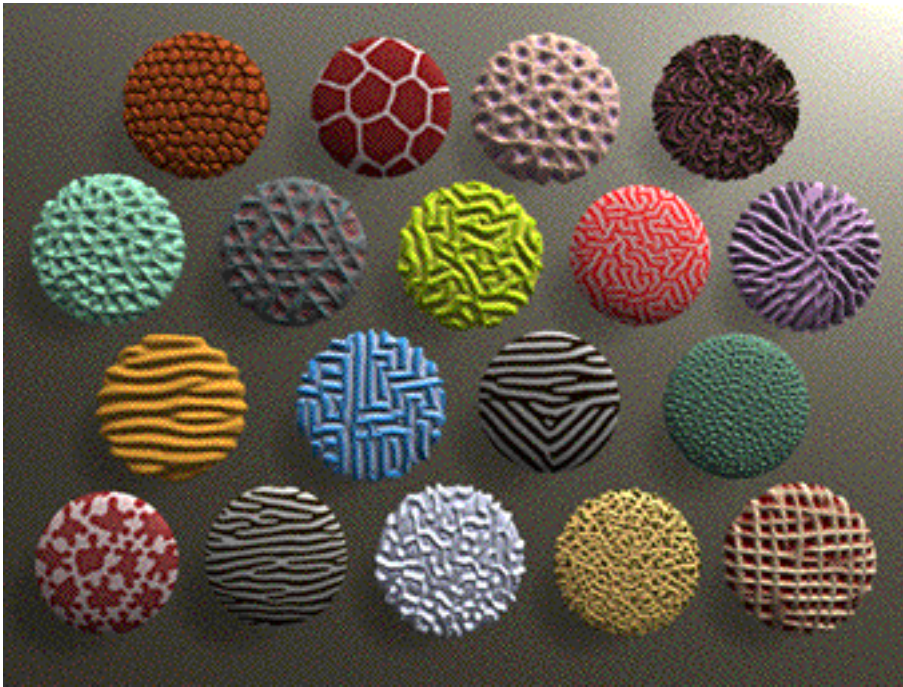


Texture de tissage

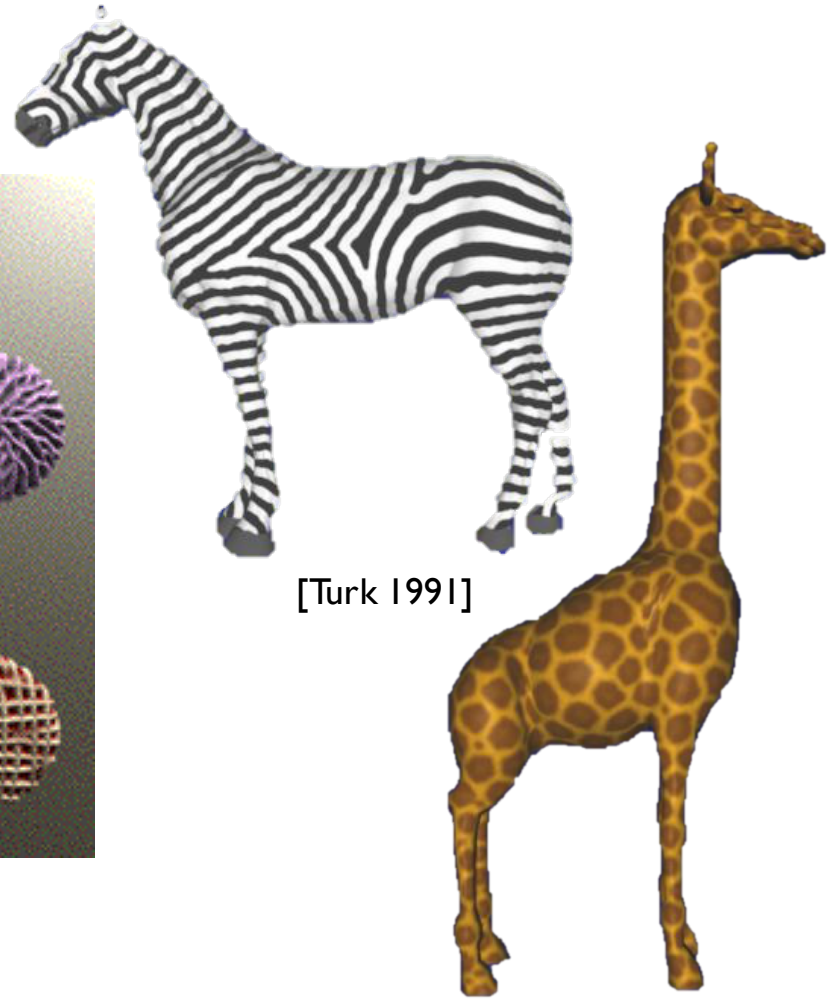


Texture de bruit

Réaction-diffusion



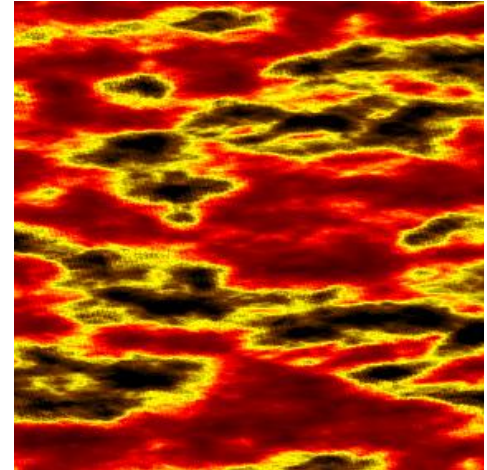
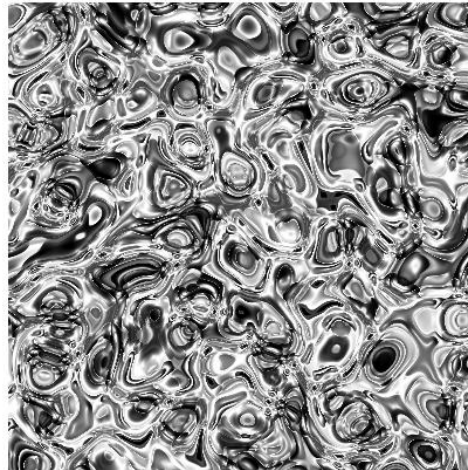
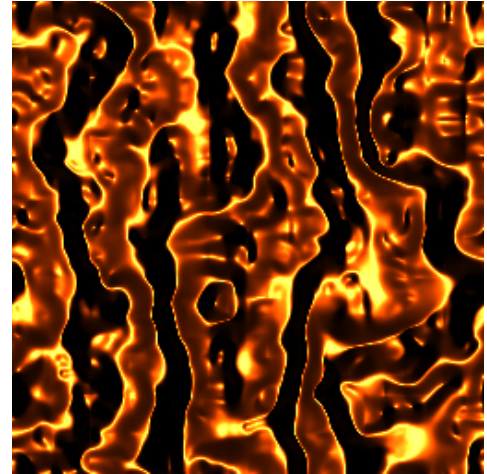
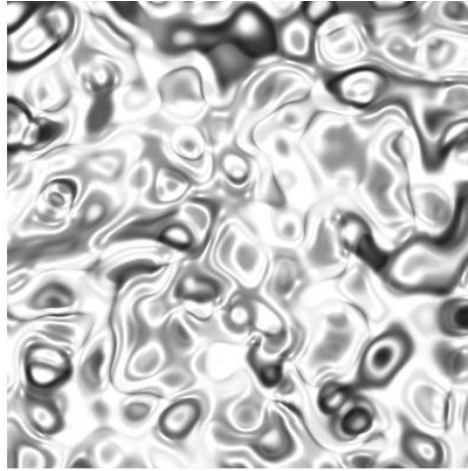
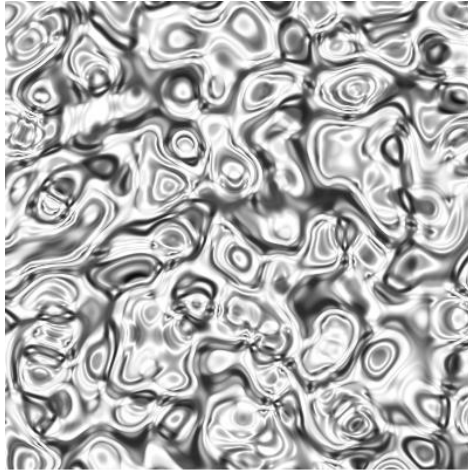
[Kass & Witkin 1991]



[Turk 1991]

Textures de Perlin

Bruit fractal continu + *color map*



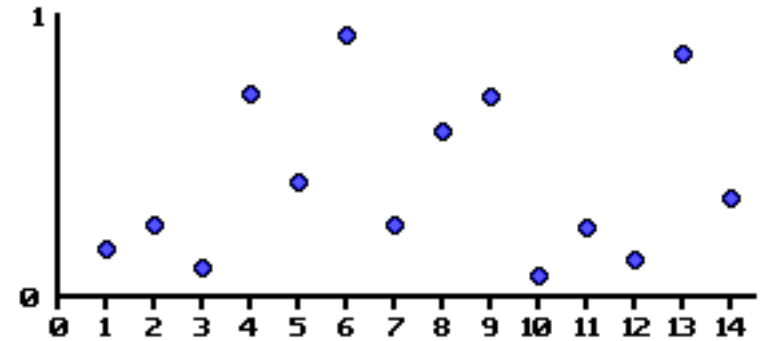
Fonction de bruit

Fonctions de base (1D)

$B(x)$ = **interpolation de valeurs aléatoires**, en des points régulièrement espacés

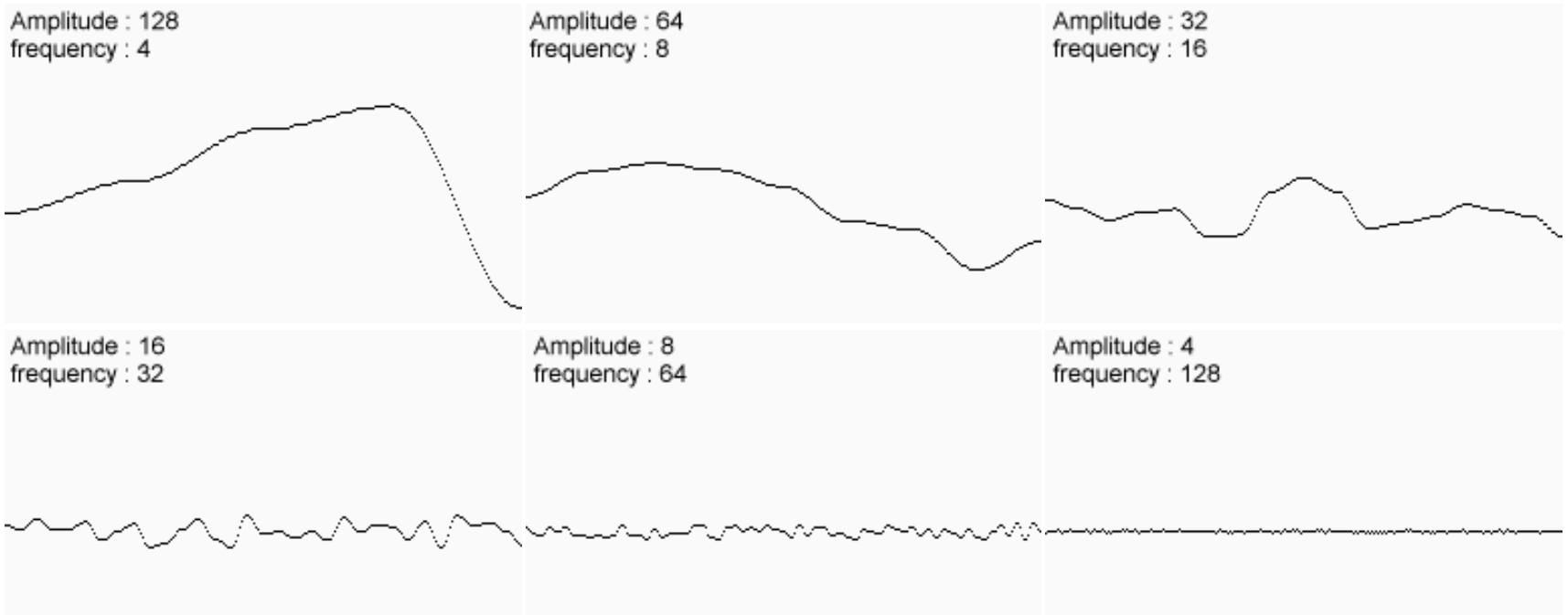
Pré-calcul des valeurs (tableau 1D)

Perlin : interpolation des **gradients aléatoires**

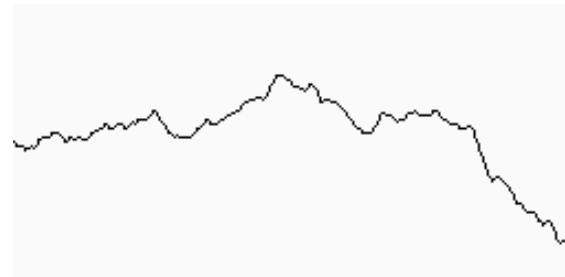


Bruit turbulent

Sommer des copies de **B** à plusieurs échelles

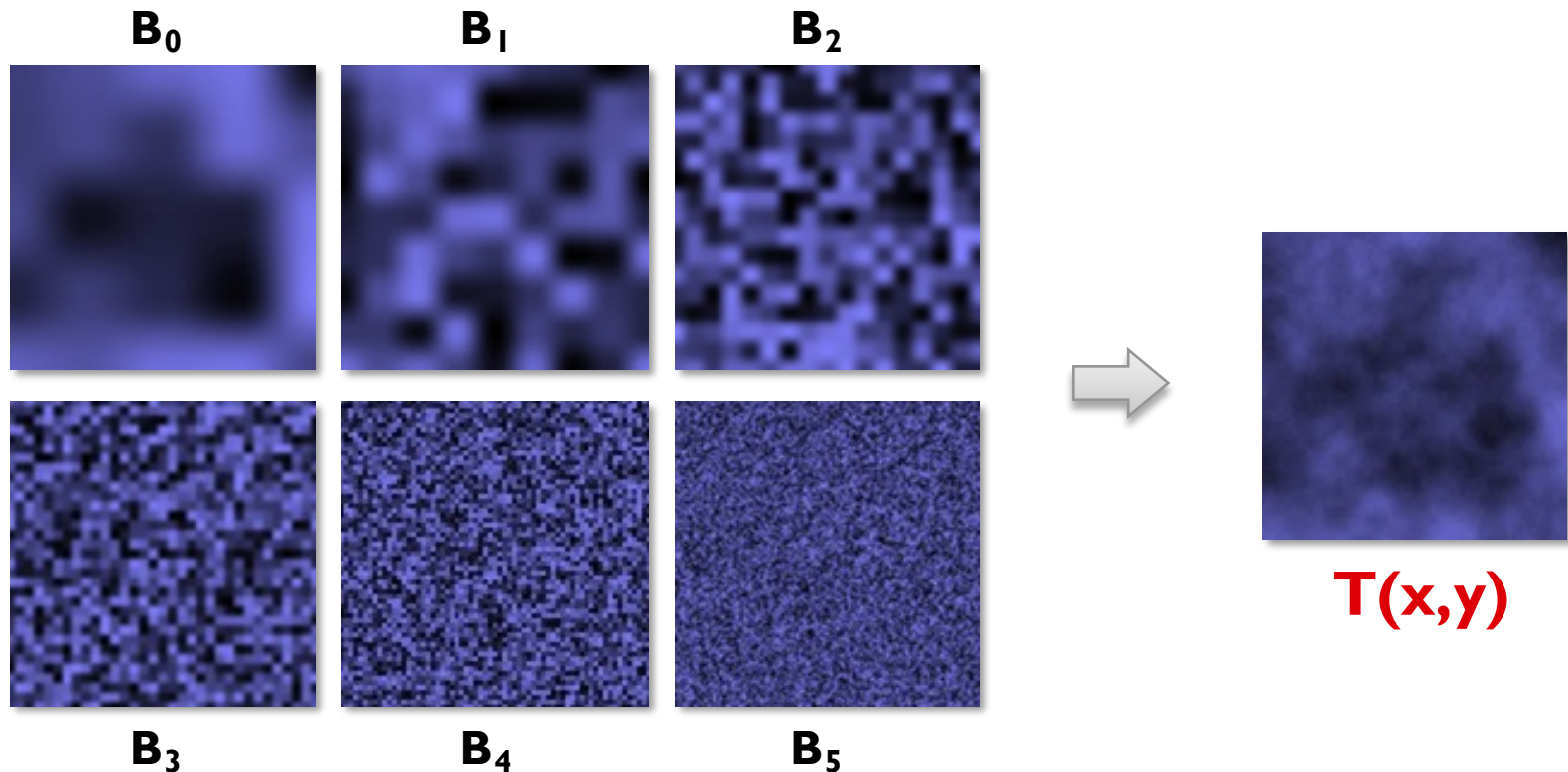


$$T(x) = \sum 1/2^i B(2^i x)$$



Texture

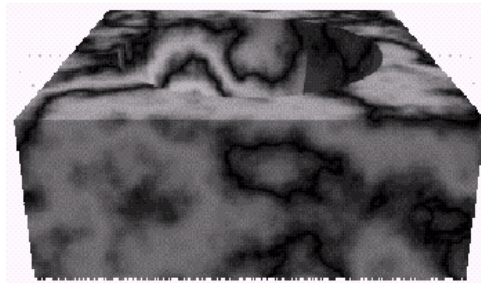
Extension des bruits en 2D ou 3D



Paramètres : **amplitude** et **fréquence** des B_i
ici, amplitude $1/2^i$ et fréquence $2^i \Rightarrow$ « octave »

Utilisation

Modification d'une **image** ou d'une **fonction simple**



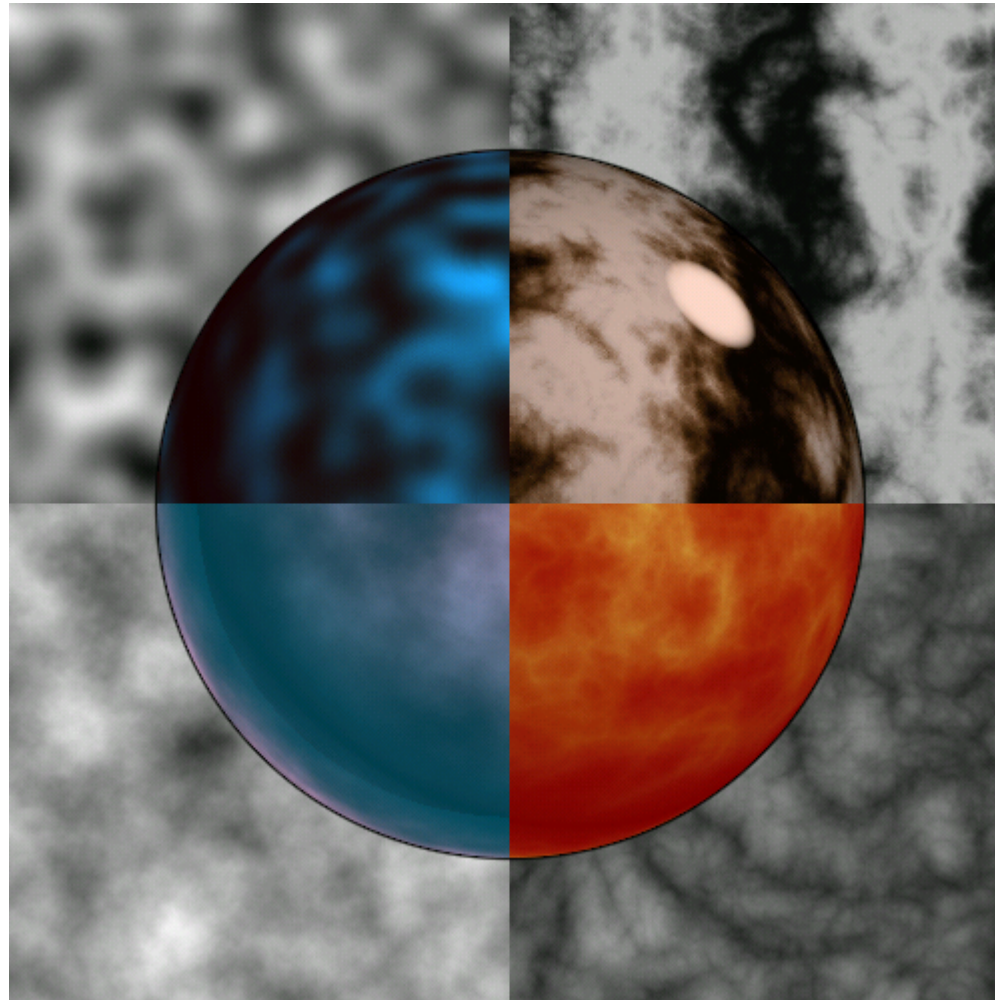
$$I(x,y,z) = \cos(x + T(x,y,z))$$



Bruit de Perlin

Bruit B

$\sin(x + T)$



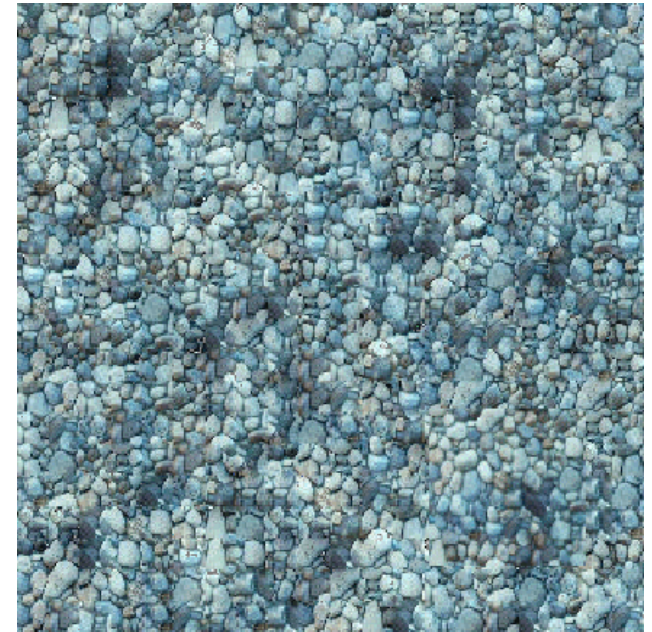
$$T = \sum 1/f(B)$$

$$\sum 1/f(|B|)$$

Synthèse par l'exemple

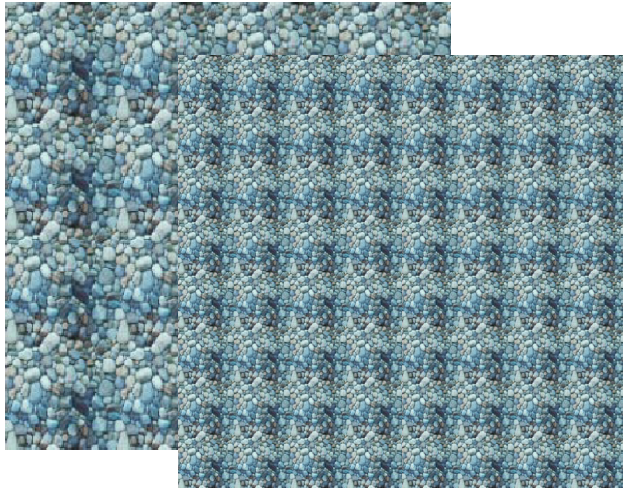


Entrée



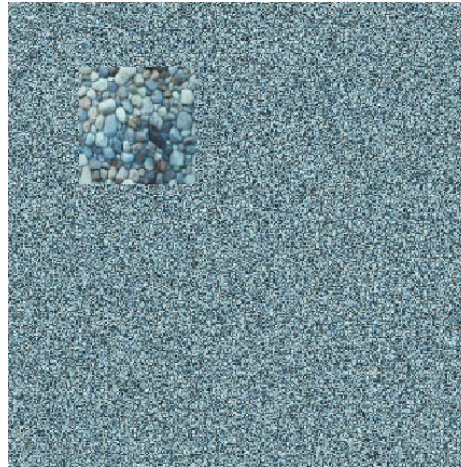
Sortie

Ce qui ne fonctionne pas...



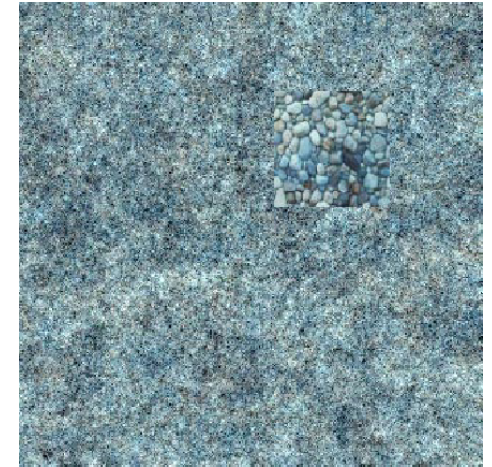
Recopier

- trop de répétition
- *aliasing*



Echantillonner les valeurs

- pas de structure
- cohérence horizontale



Echantillonner les fréquences (FFT)

- pas de cohérence entre fréquences
- cohérence verticale

Approches paramétriques

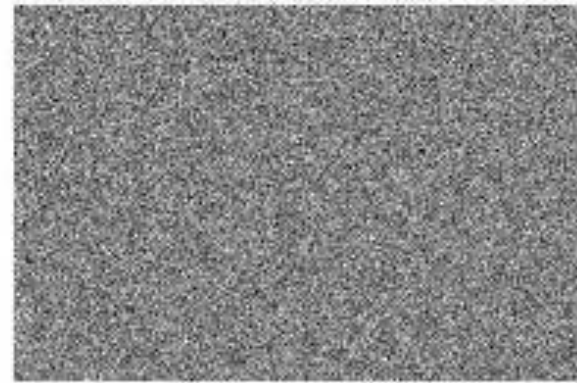
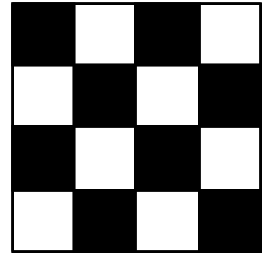
En deux étapes :

1. Analyse

Extraire les paramètres d'un **modèle statistique** (distribution des intensités, gradients...)

2. Synthèse

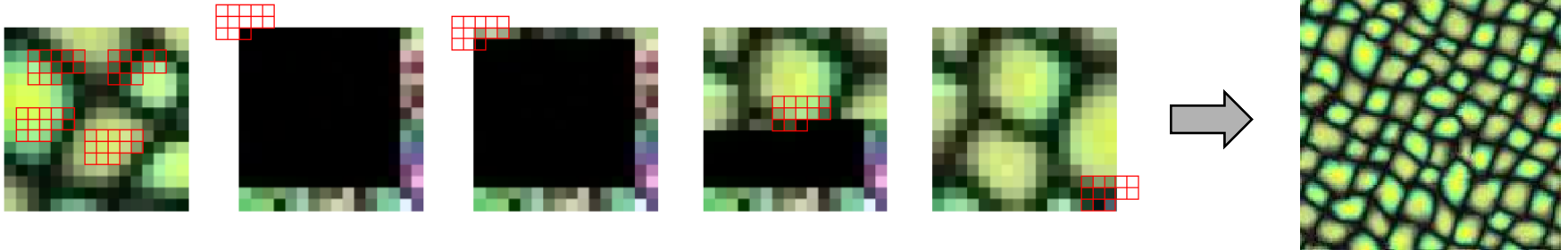
Contraindre les statistiques d'une image de bruit vers celles analysées.



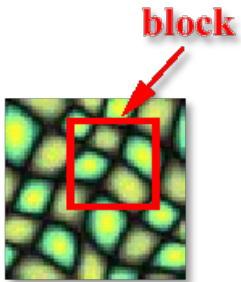
Approches non-paramétriques

Copie de **pixels** en respectant le voisinage

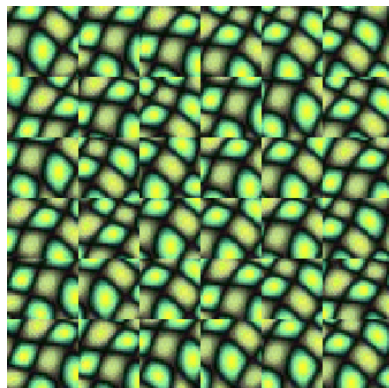
[Wei et al. 2000]



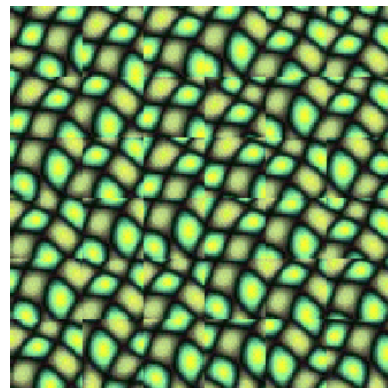
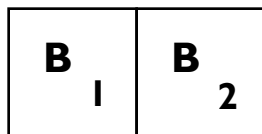
Copie de **patches**



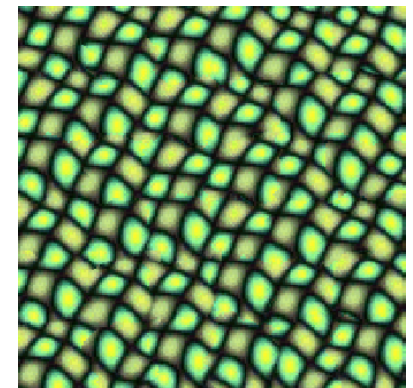
[Efros et al. 2001]



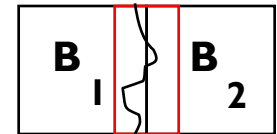
Placement
aléatoire



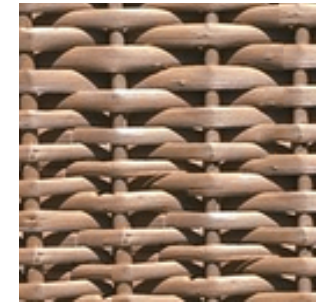
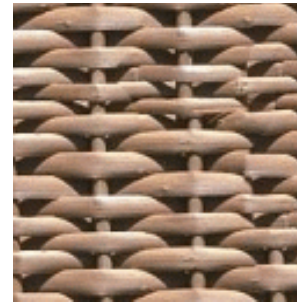
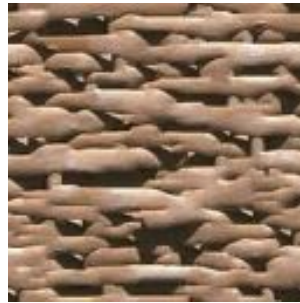
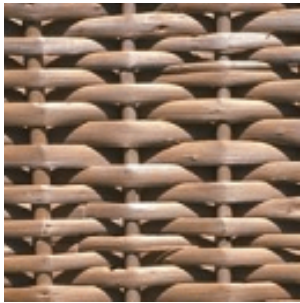
Contraintes
aux bords



Optimisation
du collage



Approches non-paramétriques



... of a visual cortical neuron—their
 describing the response of that neuro
 ht as a function of position—is perhap
 functional description of that neuron.
 seek a single conceptual and mathem
 scribe the wealth of simple-cell recep
 id neurophysiologically¹⁻³ and inferred
 especially if such a framework has the
 it helps us to understand the functio
 leeper way. Whereas no generic mo
 ussians (DOG), difference of offset C
 rivative of a Gaussian, higher derivati
 function, and so on—can be expect
 mple-cell receptive field, we noneth

... nnuance tiarpm, nelolc ewion
 ear es since,
 esoeao so eepcecd rep iacy rapais
 uogrs e—n-csiae at ones, in l
 y a—cciarnceseactne vice dsior
 deinto- eice sactm, 11 2isncr
 nheal in—cento-aimnem-ceppe
 ononass is if emn.
 hal dell eueoornn jittlyor rd th
 cingare troacjscr tfr:exoes fulls
 n, pactnewn cossa-153 rurnl, ee . all
 on
 si omtooesl —a nre, naeie ne w
 unniw eped oile-can usmsnml

... ition—is perk a single conceptual and
 of that neuribe the wealth of simple
 and matheurophysiologically¹⁻³ and
 simple-cell recially if such a framewor
 y¹⁻³ and inferlps us to understand th
 mework has perhay. Whereas no ge
 and the fumeuroDOG), difference o
 no generic a single conceptual and m
 rence of offse the wealth of simple-ce
 , higher deriescribing the response of
 —can be expas a function of position—
 helps us to understand tription of thi
 per way. Whereas no conceptual an
 sians (DOG), differencealth of simple

... iction of posiotuabe the wealth of sim
 | description of simurophroing the res
 gle conceposition—isies a function of
 reualth nion of that nectional descript
 reinctiicreptual and manis single con is
 g amcins of simple-ception of that
 cta single ally¹⁻³ and conceptual and n
 ibe the wealth of sirealth of simple-ce
 europhysiologically¹⁻³ ologically¹⁻³ and
 ecially if such a frametch a framework
 elps us to understand understand the
 per way. Whereas no hereas no gene
 ians (DOG), difference difference of
 tive of a Gaussian, highussian, higher

Exemples en
entrée

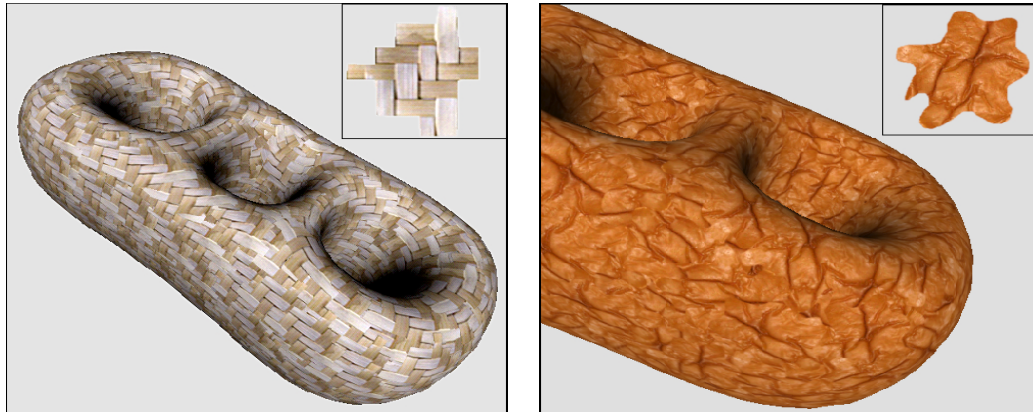
Copie de
pixels
[Wei et al. 2000]

Copie de patches
[Efros et al. 2001]

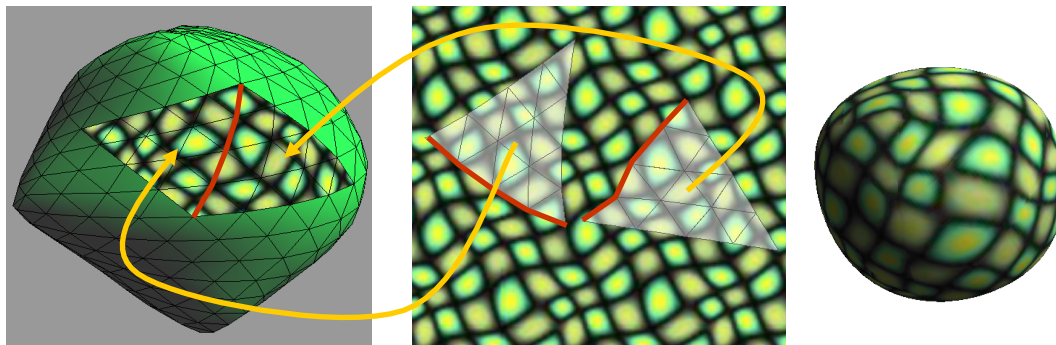
Optimisation globale
[Kwatra et al. 2005]

Synthèse 2D sur la surface

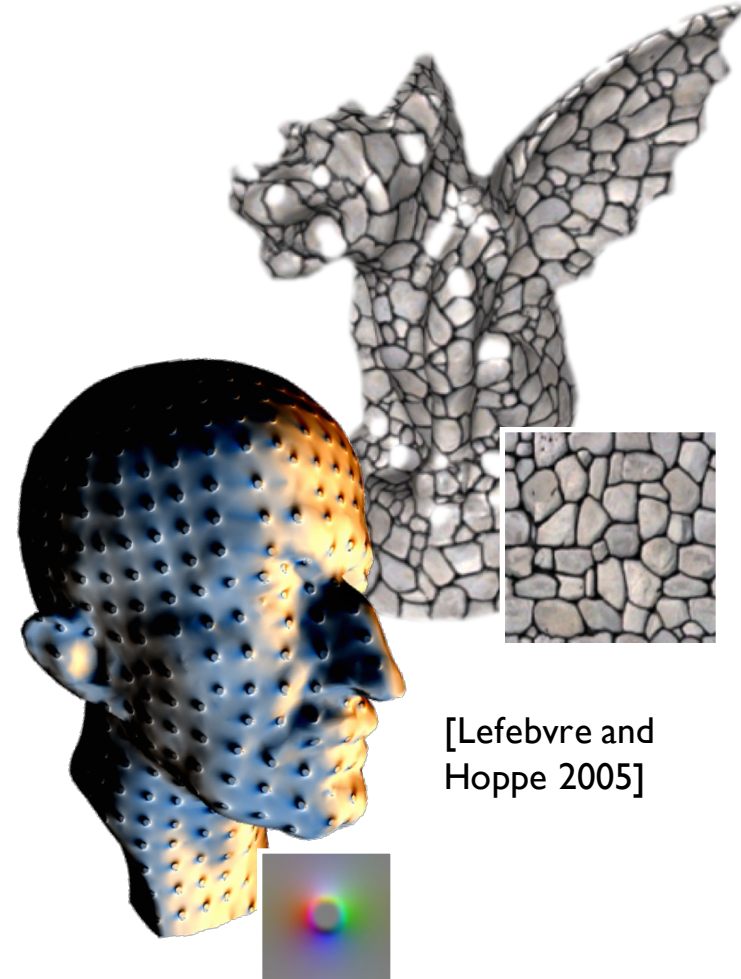
Idem en spécifiant le **voisinage sur le maillage**



[Praun et al. 2000]



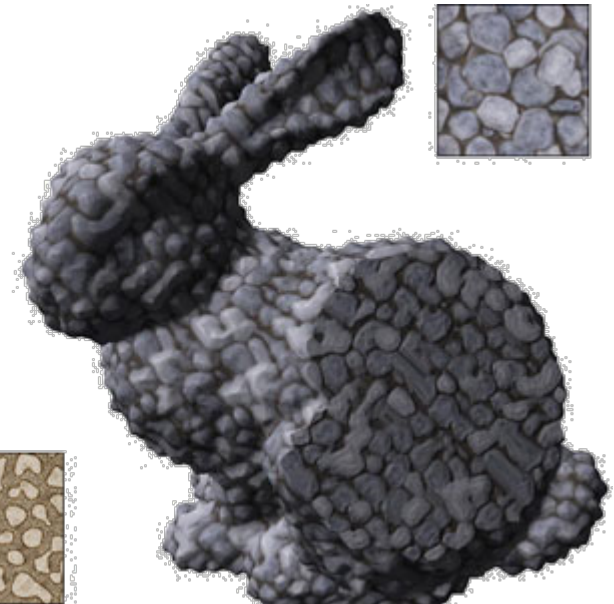
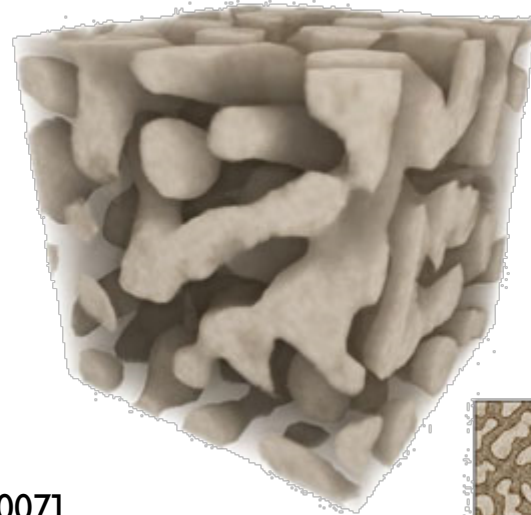
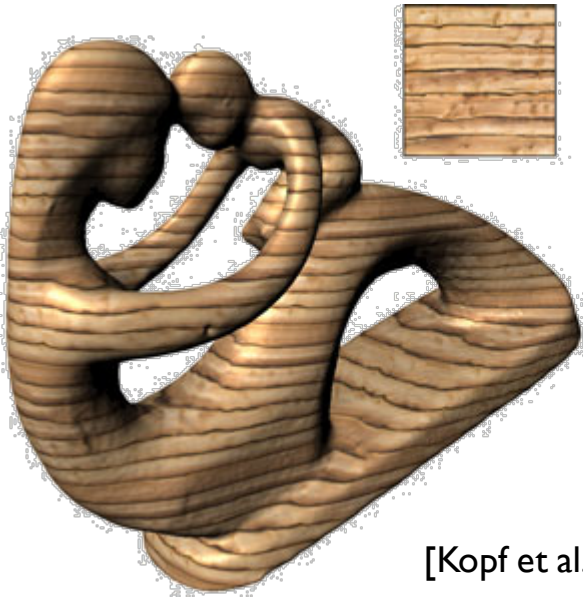
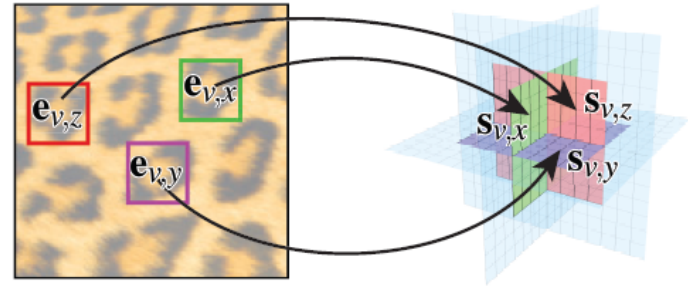
[Soler et al. 2002]



[Lefebvre and Hoppe 2005]

Textures volumiques

Synthèse par **voisinage**
selon **3 plans**



[Kopf et al. 2007]